

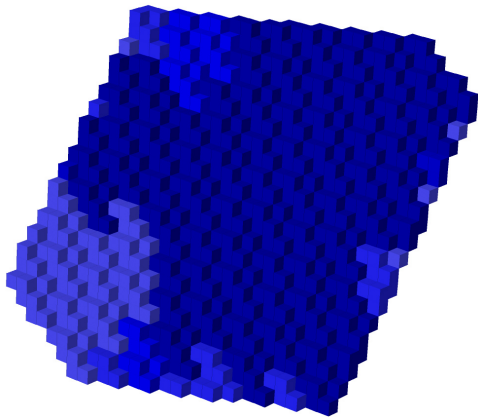
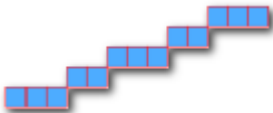
Structure des plans discrets minces

X. Provençal,

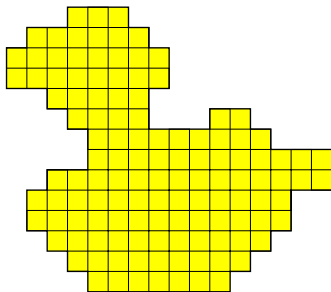
collaboration avec V. Berthé, É. Domenjoud, D. Jamet, T. Jolivet



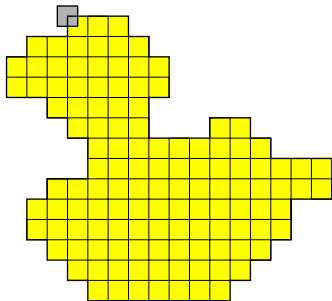
23 juillet 2020



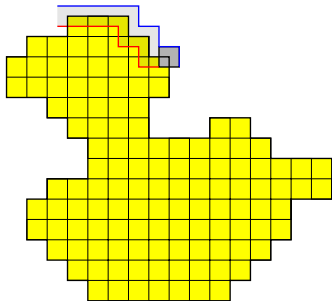
Minimum Length Polygon



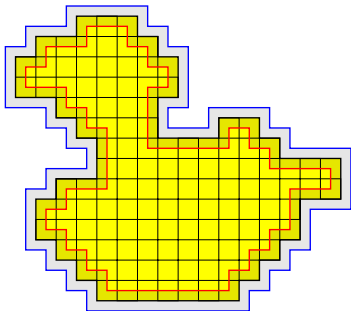
Minimum Length Polygon

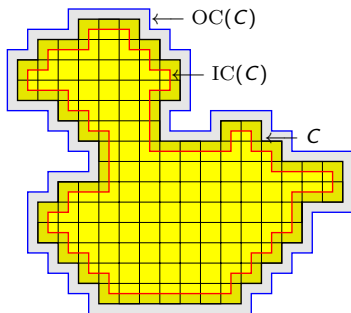


Minimum Length Polygon



Minimum Length Polygon



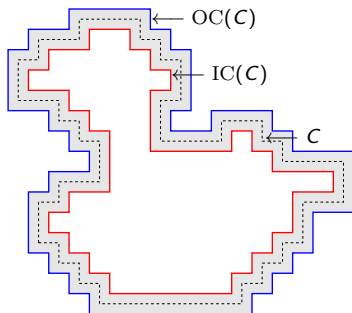


Définition (Montarani (1970) et Sklansky Chazin, Hansen (1972))

The *minimum length polygon* of C is a subset $P \in \mathbb{R}^2$ such that,

$$P = \arg \min_{A \in \mathcal{A}, IC(C) \subseteq A, \partial A \subseteq OC(C) \setminus IC(C)^\circ} \text{Per}(A)$$

where \mathcal{A} is the family of simply connected compact sets of \mathbb{R}^2 .

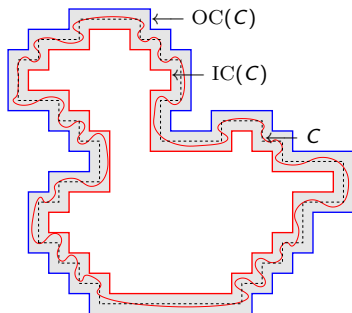


Définition (Montarani (1970) et Sklansky Chazin, Hansen (1972))

The *minimum length polygon* of C is a subset $P \in \mathbb{R}^2$ such that,

$$P = \arg \min_{A \in \mathcal{A}, IC(C) \subseteq A, \partial A \subset OC(C) \setminus IC(C)^\circ} \text{Per}(A)$$

where \mathcal{A} is the family of simply connected compact sets of \mathbb{R}^2 .

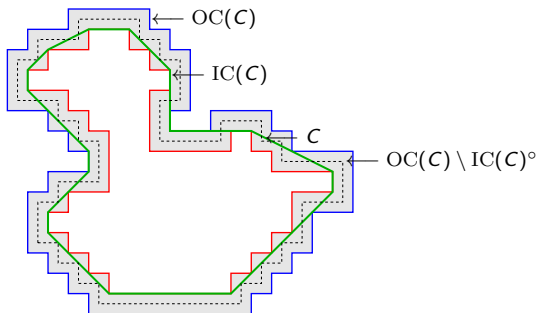


Définition (Montarani (1970) et Sklansky Chazin, Hansen (1972))

The *minimum length polygon* of C is a subset $P \in \mathbb{R}^2$ such that,

$$P = \arg \min_{A \in \mathcal{A}, IC(C) \subseteq A, \partial A \subset OC(C) \setminus IC(C)^\circ} \text{Per}(A)$$

where \mathcal{A} is the family of simply connected compact sets of \mathbb{R}^2 .

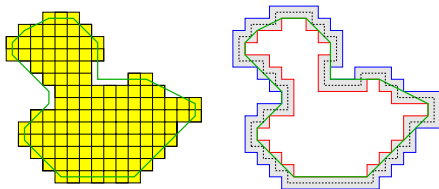


Définition (Montarani (1970) et Sklansky Chazin, Hansen (1972))

The *minimum length polygon* of C is a subset $P \in \mathbb{R}^2$ such that,

$$P = \arg \min_{A \in \mathcal{A}, IC(C) \subseteq A, \partial A \subseteq OC(C) \setminus IC(C)^\circ} \text{Per}(A)$$

where \mathcal{A} is the family of simply connected compact sets of \mathbb{R}^2 .

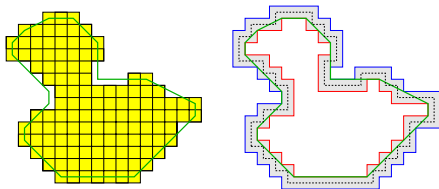


The MLP is a polygonal line whose vertices are centers of pixels along the inner or the outer contour, also :

- unique ;
- a good length estimator¹ ;
- a good tangent estimator ;
- characteristic of the shape's convexity ;
- reversible².

¹ Proved to be convergent on convex shapes.

² If aligned vertices are considered.



MLP is computable in time linear with respect of the length of C .

- J.-O. Lachaud, X. Provençal, *Two linear-time algorithms for computing the minimum length polygon of a digital contour*, Discrete Applied Mathematics (DAM), 2011.
- Tristan Roussillon, Isabelle Sivignon. *Faithful polygonal representation of the convex and concave parts of a digital curve*. Pattern Recognition, volume 44, issues 10-11, p. 2693-2700, 2011.

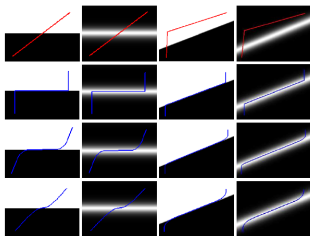
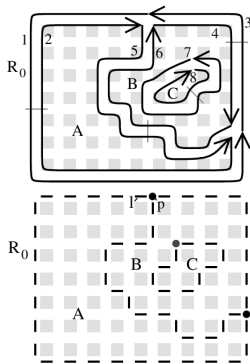
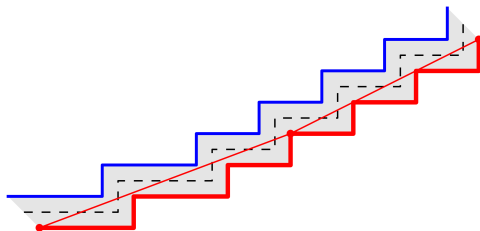


Fig. 4. Example of the minimization process using the Greedy1 algorithm. The gradient is computed with the Canny-Deriche method with scale coefficient 0.2. The input image represents a half-plane. (First row) Initialisation of the DDM. (Second row) Results of the minimisation process, the α coefficient used is equal to 0. (Third row) Results with $\alpha = 200$. (Fifth row) Results with $\alpha = 300$.



- F. de Vieilleville and J.-O. Lachaud, *Digital Deformable Model Simulating Active Contours*, in proc. DGCI2009, LNCS 5810, p.203-216, 2009.
- G. Damiand, A. Dupas and J.-O. Lachaud, *Combining Topological Maps, Multi-Label Simple Points, and Minimum-Length Polygons for Efficient Digital Partition Model*, in proc. IWICIA2011, LNCS 6636, p. 208-221, 2011.

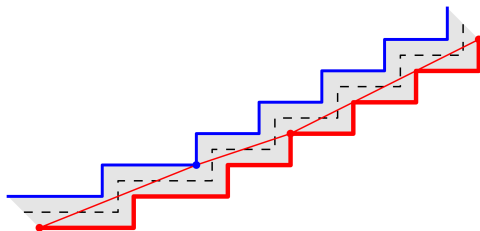
$$(8, 3) \otimes (2, 1)^3 = 2.$$



$$[(8, 3), (2, 1)^3]$$

- J.-O. Lachaud, X. Provençal, *Dynamic Minimum Length MLP*, in proc. IWCIA2011, LNCS 6636, p. 208-221, 2011.

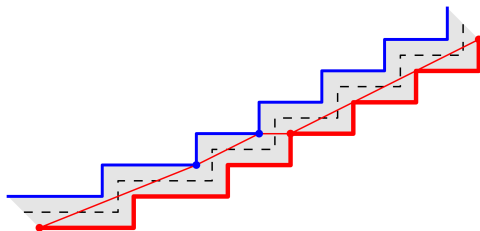
$$(8, 3) \otimes (2, 1)^3 = 2.$$



$$[(8, 3), (2, 1)^3] \equiv [(\widetilde{2, 5}), (\widetilde{3, 1}), (2, 1)^3]$$

- J.-O. Lachaud, X. Provençal, *Dynamic Minimum Length MLP*, in proc. IWCA2011, LNCS 6636, p. 208-221, 2011.

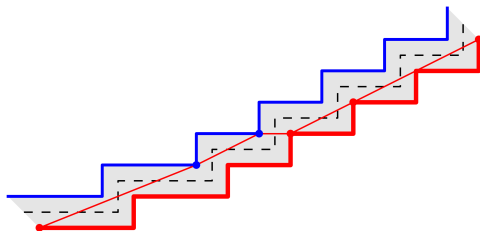
$$(8, 3) \otimes (2, 1)^3 = 2.$$



$$[(8, 3), (2, 1)^3] \equiv [(\widetilde{2, 5}), (1, 2), (\widetilde{1, 0}), (2, 1)^3]$$

- J.-O. Lachaud, X. Provençal, *Dynamic Minimum Length MLP*, in proc. IWCIA2011, LNCS 6636, p. 208-221, 2011.

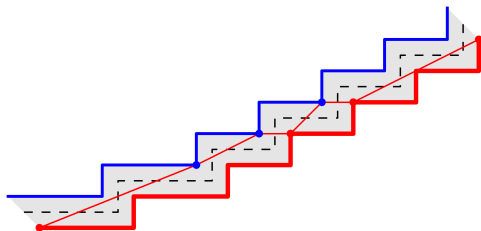
$$(8, 3) \otimes (2, 1)^3 = 2.$$



$$[(8, 3), (2, 1)^3] \equiv [(\widetilde{2, 5}), (1, 2), (\widetilde{1, 0}), (2, 1), (2, 1)^2]$$

- J.-O. Lachaud, X. Provençal, *Dynamic Minimum Length MLP*, in proc. IWCIA2011, LNCS 6636, p. 208-221, 2011.

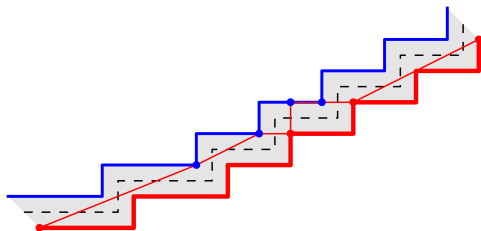
$$(8, 3) \otimes (2, 1)^3 = 2.$$



$$[(8, 3), (2, 1)^3] \equiv [\widetilde{(2, 5)}, \widetilde{(1, 2)}, \widetilde{(1, 0)}, \widetilde{(1, 1)}, \widetilde{(1, 0)}, (2, 1)^2]$$

- J.-O. Lachaud, X. Provençal, *Dynamic Minimum Length MLP*, in proc. IWCIA2011, LNCS 6636, p. 208-221, 2011.

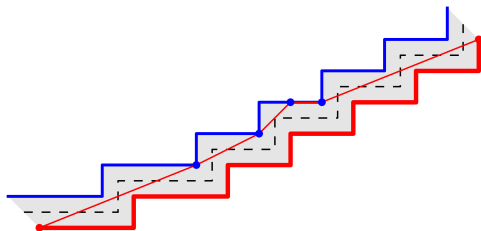
$$(8, 3) \otimes (2, 1)^3 = 2.$$



$$[(8, 3), (2, 1)^3] \equiv [(\widetilde{2, 5}), (\widetilde{1, 2}), (\widetilde{1, 0}), (\widetilde{1, 0}), (\widetilde{0, 1}), (\widetilde{1, 0}), (2, 1)^2]$$

- J.-O. Lachaud, X. Provençal, *Dynamic Minimum Length MLP*, in proc. IWCA2011, LNCS 6636, p. 208-221, 2011.

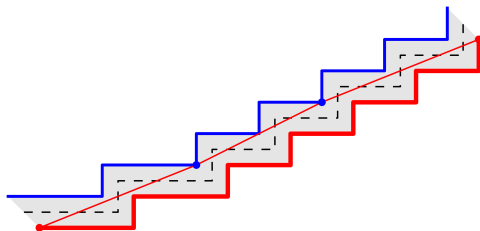
$$(8, 3) \otimes (2, 1)^3 = 2.$$



$$[(8, 3), (2, 1)^3] \equiv [\widetilde{(2, 5)}, (1, 2), (1, 1)(0, 1), \widetilde{(5, 2)}]$$

- J.-O. Lachaud, X. Provençal, *Dynamic Minimum Length MLP*, in proc. IWCIA2011, LNCS 6636, p. 208-221, 2011.

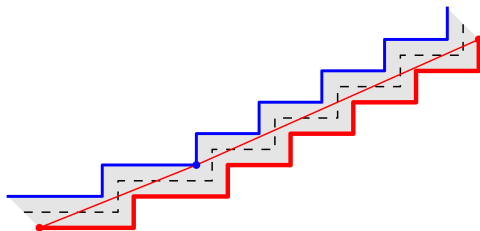
$$(8, 3) \otimes (2, 1)^3 = 2.$$



$$[(8, 3), (2, 1)^3] \equiv [\widetilde{(2, 5)}, \widetilde{(1, 2)^2}, \widetilde{(5, 2)}]$$

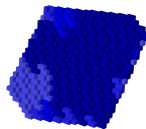
- J.-O. Lachaud, X. Provençal, *Dynamic Minimum Length MLP*, in proc. IWCIA2011, LNCS 6636, p. 208-221, 2011.

$$(8, 3) \otimes (2, 1)^3 = 2.$$



$$[(8, 3), (2, 1)^3] \equiv [\widetilde{(2, 5)}, \widetilde{(9, 4)}]$$

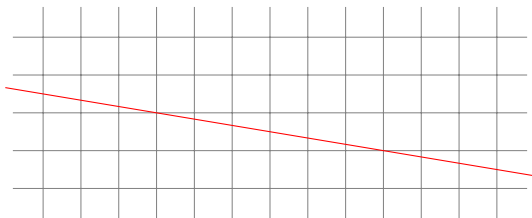
- J.-O. Lachaud, X. Provençal, *Dynamic Minimum Length MLP*, in proc. IWCIA2011, LNCS 6636, p. 208-221, 2011.

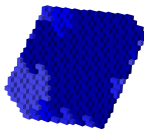


Définition (J.-P. Reveillès, 1991)

L'hyperplan discret $P(v, \mu, \omega)$ de vecteur normal $v \in \mathbb{R}^n$, de décalage $\mu \in \mathbb{R}$ et d'épaisseur $\omega \in \mathbb{R}_+$ est le sous-ensemble de \mathbb{Z}^n défini par :

$$P(v, \mu, \omega) = \{x \in \mathbb{Z}^n \mid 0 \leq \langle x, v \rangle + \mu < \omega\}$$

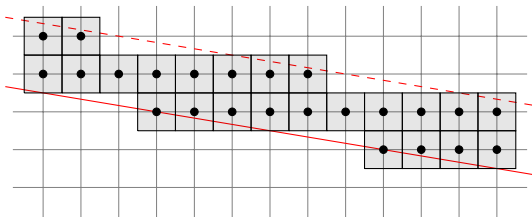


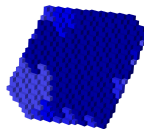


Définition (J.-P. Reveillès, 1991)

L'hyperplan discret $P(v, \mu, \omega)$ de vecteur normal $v \in \mathbb{R}^n$, de décalage $\mu \in \mathbb{R}$ et d'épaisseur $\omega \in \mathbb{R}_+$ est le sous-ensemble de \mathbb{Z}^n défini par :

$$P(v, \mu, \omega) = \{x \in \mathbb{Z}^n \mid 0 \leq \langle x, v \rangle + \mu < \omega\}$$

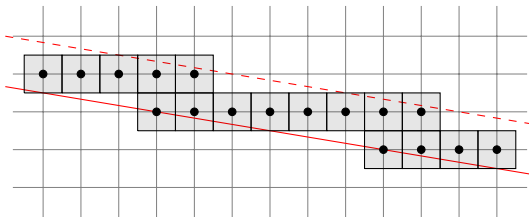


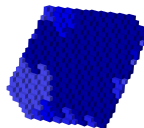


Définition (J.-P. Reveillès, 1991)

L'hyperplan discret $P(v, \mu, \omega)$ de vecteur normal $v \in \mathbb{R}^n$, de décalage $\mu \in \mathbb{R}$ et d'épaisseur $\omega \in \mathbb{R}_+$ est le sous-ensemble de \mathbb{Z}^n défini par :

$$P(v, \mu, \omega) = \{x \in \mathbb{Z}^n \mid 0 \leq \langle x, v \rangle + \mu < \omega\}$$

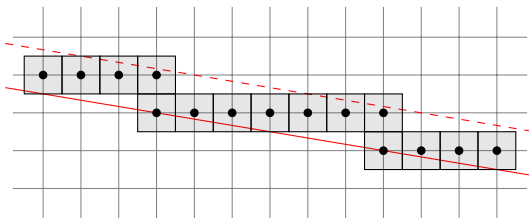


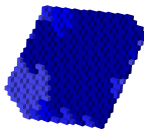


Définition (J.-P. Reveillès, 1991)

L'hyperplan discret $P(v, \mu, \omega)$ de vecteur normal $v \in \mathbb{R}^n$, de décalage $\mu \in \mathbb{R}$ et d'épaisseur $\omega \in \mathbb{R}_+$ est le sous-ensemble de \mathbb{Z}^n défini par :

$$P(v, \mu, \omega) = \{x \in \mathbb{Z}^n \mid 0 \leq \langle x, v \rangle + \mu < \omega\}$$

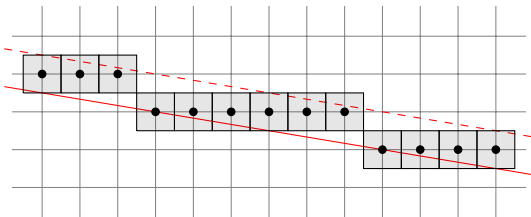


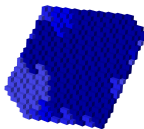


Définition (J.-P. Reveillès, 1991)

L'hyperplan discret $P(v, \mu, \omega)$ de vecteur normal $v \in \mathbb{R}^n$, de décalage $\mu \in \mathbb{R}$ et d'épaisseur $\omega \in R_+$ est le sous-ensemble de \mathbb{Z}^n défini par :

$$P(v, \mu, \omega) = \{x \in \mathbb{Z}^n \mid 0 \leq \langle x, v \rangle + \mu < \omega\}$$

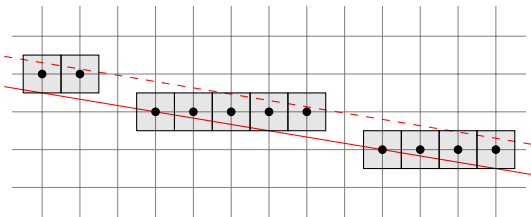




Définition (J.-P. Reveillès, 1991)

L'hyperplan discret $P(v, \mu, \omega)$ de vecteur normal $v \in \mathbb{R}^n$, de décalage $\mu \in \mathbb{R}$ et d'épaisseur $\omega \in \mathbb{R}_+$ est le sous-ensemble de \mathbb{Z}^n défini par :

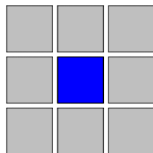
$$P(v, \mu, \omega) = \{x \in \mathbb{Z}^n \mid 0 \leq \langle x, v \rangle + \mu < \omega\}$$



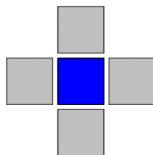
Définition

Deux points x, y de \mathbb{Z}^d sont k -connexes si

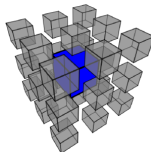
$$\|x - y\|_\infty \leq 1 \quad \text{et} \quad \|x - y\|_1 \leq d - k.$$



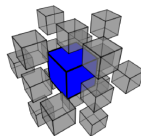
0-voisins



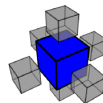
1-voisins



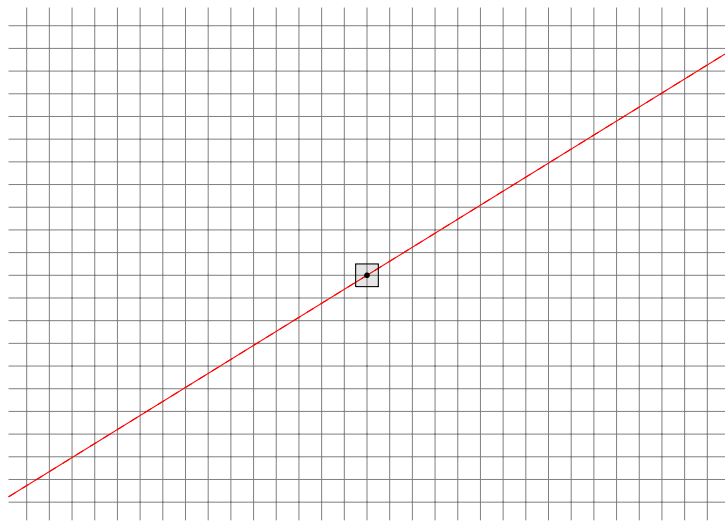
0-voisins

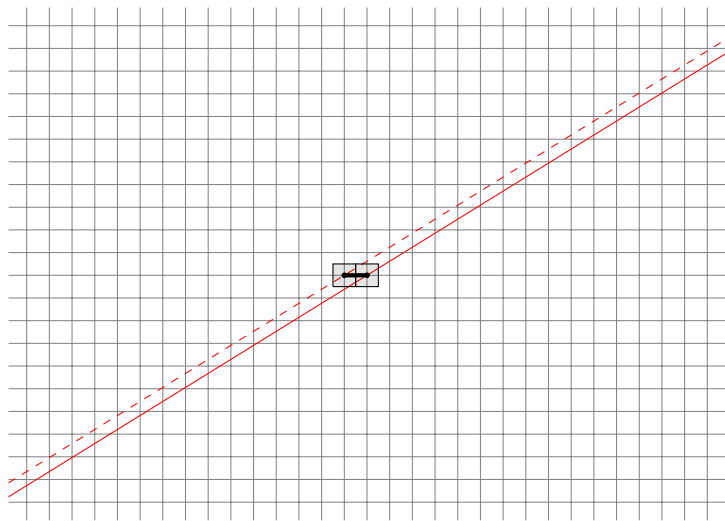


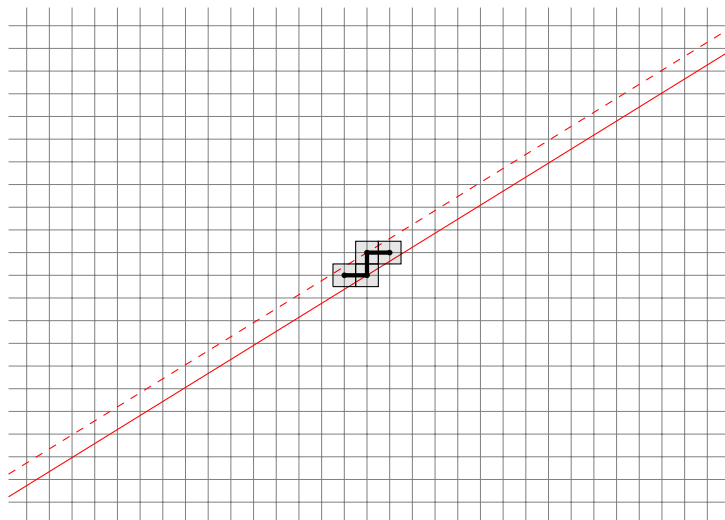
1-voisins

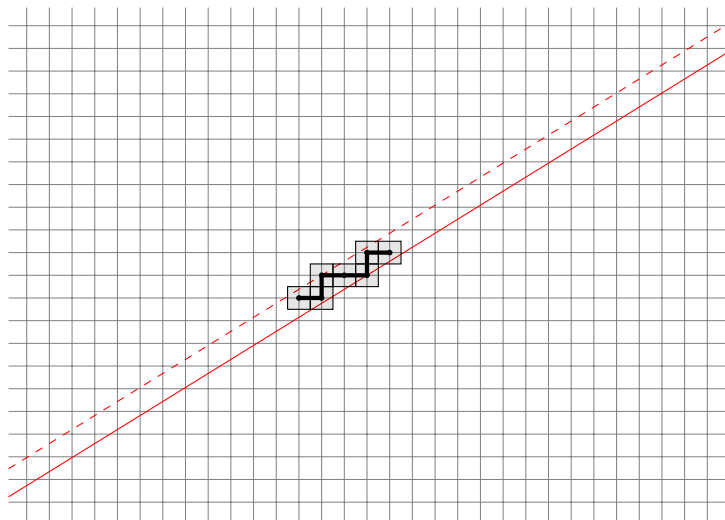


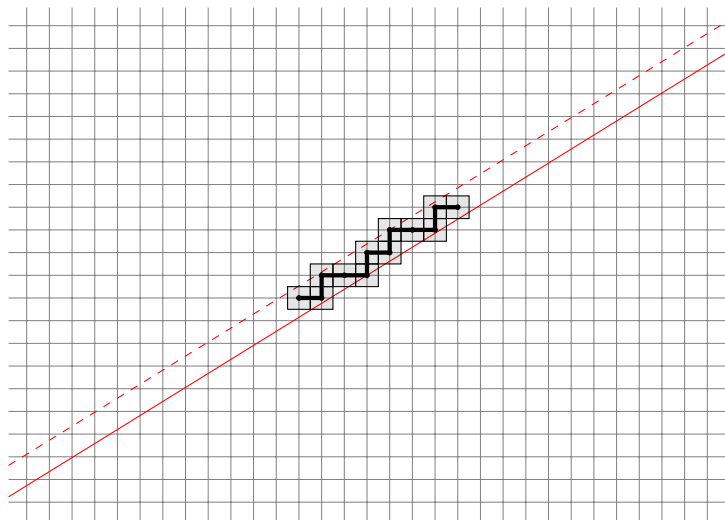
2-voisins

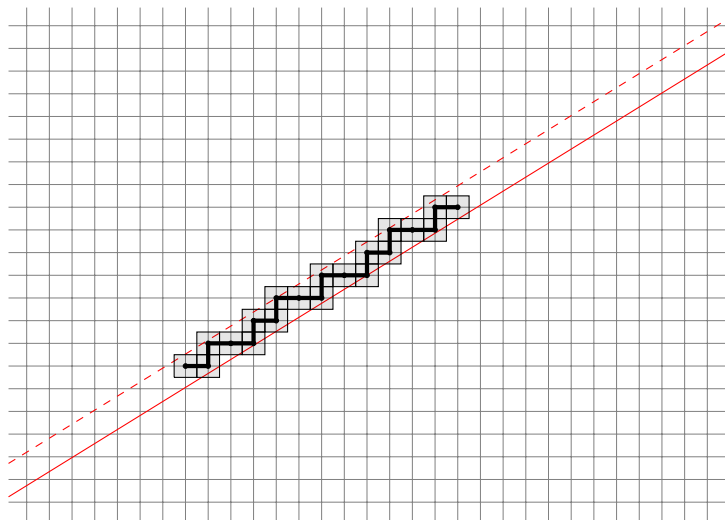


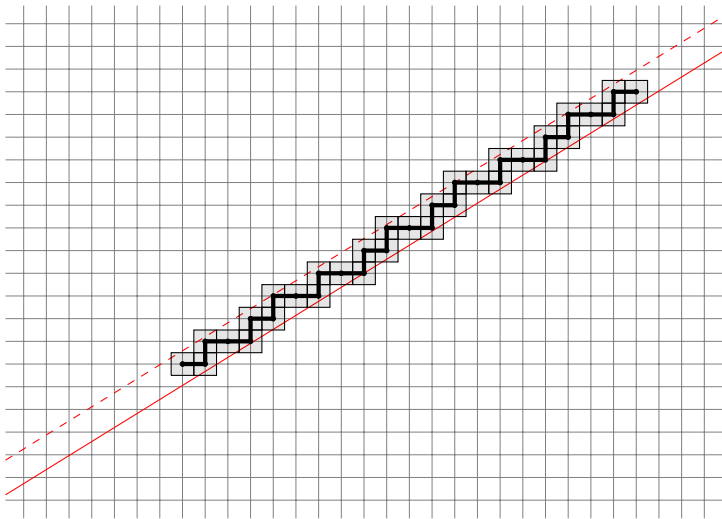


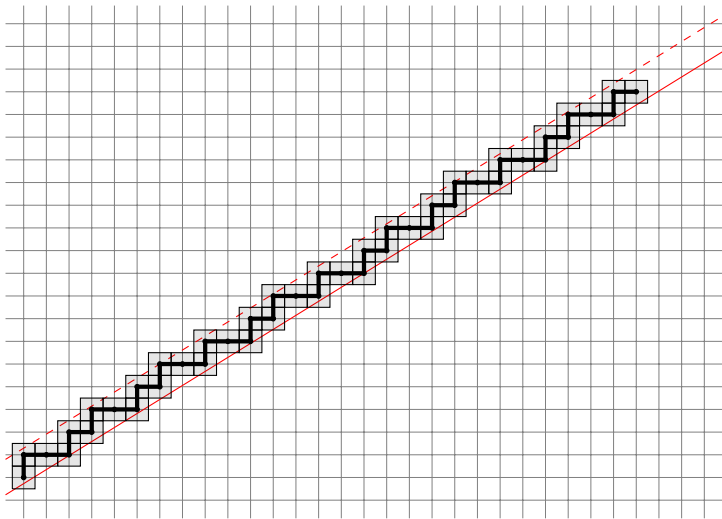


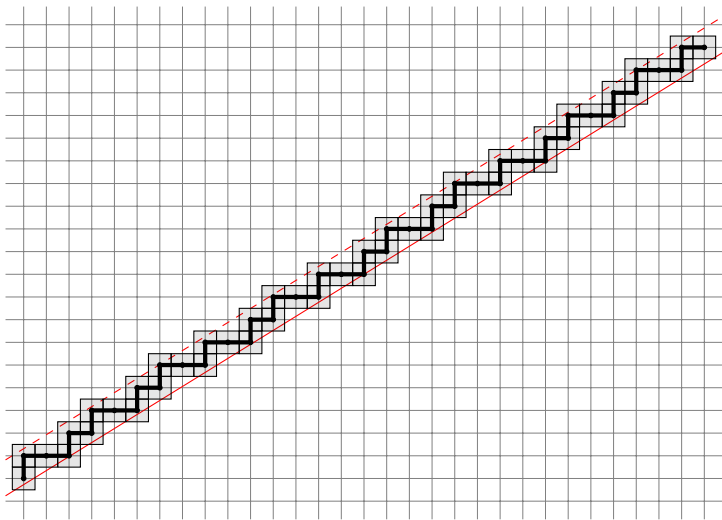








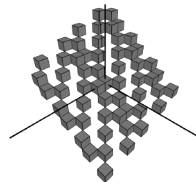
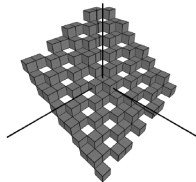
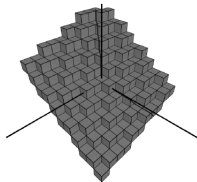




Question

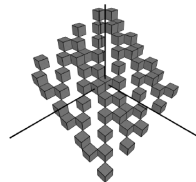
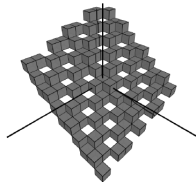
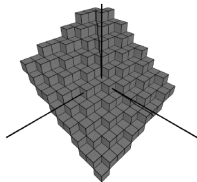
On considère un vecteur $v \in \mathbb{R}^d$, un réel $\mu \in \mathbb{R}$ et un entier $\kappa \in \{0, 1, \dots, d-1\}$.

Déterminer $\Omega_\kappa(v, \mu) = \inf \{ \omega \in \mathbb{R} \mid P(v, \mu, \omega) \text{ est } \kappa\text{-connexe} \}$



Question

On considère un vecteur $v \in \mathbb{R}^d$, un réel $\mu \in \mathbb{R}$ et un entier $\kappa \in \{0, 1, \dots, d-1\}$.
Déterminer $\Omega_\kappa(v, \mu) = \inf \{\omega \in \mathbb{R} \mid P(v, \mu, \omega) \text{ est } \kappa\text{-connexe}\}$

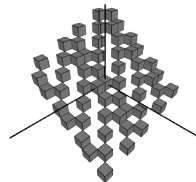
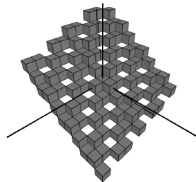
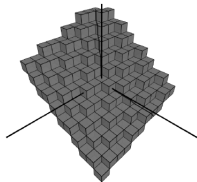


Propriété

- $\Omega_\kappa(\alpha v, \alpha \mu) = \alpha \Omega_\kappa(v, \mu)$.

Question

On considère un vecteur $v \in \mathbb{R}^d$, un réel $\mu \in \mathbb{R}$ et un entier $\kappa \in \{0, 1, \dots, d-1\}$.
Déterminer $\Omega_\kappa(v, \mu) = \inf \{\omega \in \mathbb{R} \mid P(v, \mu, \omega) \text{ est } \kappa\text{-connexe}\}$

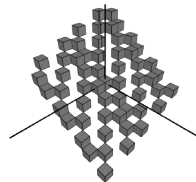
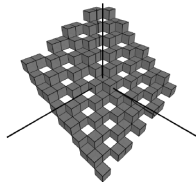
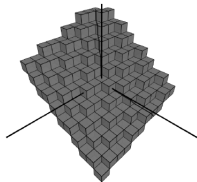


Propriété

- $\Omega_\kappa(\alpha v, \alpha \mu) = \alpha \Omega_\kappa(v, \mu)$.
- Soit σ une permutation, $\Omega_\kappa(v, \mu) = \Omega_\kappa(\sigma(v), \mu)$.

Question

On considère un vecteur $v \in \mathbb{R}^d$, un réel $\mu \in \mathbb{R}$ et un entier $\kappa \in \{0, 1, \dots, d-1\}$.
Déterminer $\Omega_\kappa(v, \mu) = \inf \{ \omega \in \mathbb{R} \mid P(v, \mu, \omega) \text{ est } \kappa\text{-connexe} \}$

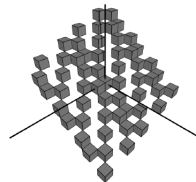
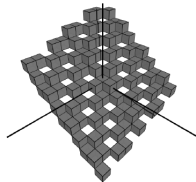
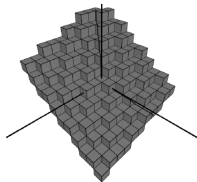


Propriété

- $\Omega_\kappa(\alpha v, \alpha \mu) = \alpha \Omega_\kappa(v, \mu)$.
- Soit σ une permutation, $\Omega_\kappa(v, \mu) = \Omega_\kappa(\sigma(v), \mu)$.
- Si v possède $d-1$ composantes nulles, alors $\Omega_\kappa(v, \mu) = \mu \bmod \|v\|_\infty$.

Question

On considère un vecteur $v \in \mathbb{R}^d$, un réel $\mu \in \mathbb{R}$ et un entier $\kappa \in \{0, 1, \dots, d-1\}$.
Déterminer $\Omega_\kappa(v, \mu) = \inf \{\omega \in \mathbb{R} \mid P(v, \mu, \omega) \text{ est } \kappa\text{-connexe}\}$



Propriété

- $\Omega_\kappa(\alpha v, \alpha \mu) = \alpha \Omega_\kappa(v, \mu)$.
- Soit σ une permutation, $\Omega_\kappa(v, \mu) = \Omega_\kappa(\sigma(v), \mu)$.
- Si v possède $d-1$ composantes nulles, alors $\Omega_\kappa(v, \mu) = \mu \bmod \|v\|_\infty$.
- Si v possède au moins deux composantes non-nulles, alors $\Omega_{d-1}(v, \mu) \geq \|v\|_\infty$.

Théorème (Domenjoud, Jamet, Toutant, 2009)

Soit $v = (v_1, v_2, v_3) \in \mathbb{R}_+^3$, avec $v_1 \leq v_2 \leq v_3$, $\mu \in \mathbb{R}_+$ alors

$$\Omega_2 \left(\left(\begin{pmatrix} v_1 \\ v_2 \\ v_3 \end{pmatrix}, \mu \right) \right) = \Omega_2 \left(\left(\begin{pmatrix} v_1 \\ v_2 - v_1 \\ v_3 - v_1 \end{pmatrix}, \mu \right) \right) + v_1.$$

Théorème (Domenjoud, Jamet, Toutant, 2009)

Soit $v = (v_1, v_2, v_3) \in \mathbb{R}_+^3$, avec $v_1 \leq v_2 \leq v_3$, $\mu \in \mathbb{R}_+$ alors

$$\Omega_2 \left(\left(\begin{pmatrix} v_1 \\ v_2 \\ v_3 \end{pmatrix}, \mu \right) \right) = \Omega_2 \left(\left(\begin{pmatrix} v_1 \\ v_2 - v_1 \\ v_3 - v_1 \end{pmatrix}, \mu \right) \right) + v_1.$$

Démonstration.

On se rappelle que $\langle x, v \rangle = \langle {}^t M^{-1} x, Mv \rangle$ et on pose

$$M = \begin{bmatrix} 1 & 0 & 0 \\ -1 & 1 & 0 \\ -1 & 0 & 1 \end{bmatrix}, \quad P_1 := P(v, \mu, \omega), \quad P_2 := P(Mv, \mu, \omega - v_1).$$

On montre que

$$P_1 \text{ est 2-connexe} \iff P_2 \text{ est 2-connexe.}$$

Théorème (Domenjoud, Jamet, Toutant, 2009)

Soit $v = (v_1, v_2, v_3) \in \mathbb{R}_+^3$, avec $v_1 \leq v_2 \leq v_3$, $\mu \in \mathbb{R}_+$ alors

$$\Omega_2 \left(\left(\begin{pmatrix} v_1 \\ v_2 \\ v_3 \end{pmatrix}, \mu \right) \right) = \Omega_2 \left(\left(\begin{pmatrix} v_1 \\ v_2 - v_1 \\ v_3 - v_1 \end{pmatrix}, \mu \right) \right) + v_1.$$

Démonstration.

On se rappelle que $\langle x, v \rangle = \langle {}^t M^{-1} x, Mv \rangle$ et on pose

$$M = \begin{bmatrix} 1 & 0 & 0 \\ -1 & 1 & 0 \\ -1 & 0 & 1 \end{bmatrix}, \quad P_1 := P(v, \mu, \omega), \quad P_2 := P(Mv, \mu, \omega - v_1).$$

On montre que

$$P_1 \text{ est 2-connexe} \iff P_2 \text{ est 2-connexe.}$$



$$\Omega_2 \left(\left(\begin{pmatrix} v_1 \\ v_2 \\ v_3 \end{pmatrix}, \mu \right) \right) = \Omega_2 \left(\left(\begin{pmatrix} v_1 \\ v_2 - v_1 \\ v_3 - v_1 \end{pmatrix}, \mu \right) \right) + v_1.$$

Étant donné un vecteur $v \in \mathbb{R}_+^3$, on pose $v^{(0)} = v$, $\omega^{(0)} = 0$ et pour $n \geq 1$,

$$\begin{aligned} \Omega_2(v, \mu) &= \Omega_2(v^{(n)}, \mu) + \omega^{(n)} \\ v^{(n)} &= Mv^{(n-1)} \end{aligned}$$

où $M = \begin{bmatrix} 1 & 0 & 0 \\ -1 & 1 & 0 \\ -1 & 0 & 1 \end{bmatrix}$.

$$\Omega_2 \left(\left(\begin{pmatrix} v_1 \\ v_2 \\ v_3 \end{pmatrix}, \mu \right) \right) = \Omega_2 \left(\left(\begin{pmatrix} v_1 \\ v_2 - v_1 \\ v_3 - v_1 \end{pmatrix}, \mu \right) \right) + v_1.$$

Étant donné un vecteur $v \in \mathbb{R}_+^3$, on pose $v^{(0)} = v$, $\omega^{(0)} = 0$ et pour $n \geq 1$,

$$\begin{aligned} \Omega_2(v, \mu) &= \Omega_2(v^{(n)}, \mu) + \omega^{(n)} \\ v^{(n)} &= Mv^{(n-1)} \end{aligned}$$

où $M = \begin{bmatrix} 1 & 0 & 0 \\ -1 & 1 & 0 \\ -1 & 0 & 1 \end{bmatrix}$.

Algorithme

- Si il existe $n \geq 0$ tel que $v^{(n)} = (0, 0, h)$ (rat. dép.) :

$$\Omega_2(v, \mu) = \omega^{(n)} + (\mu \bmod h).$$

$$\Omega_2 \left(\left(\begin{pmatrix} v_1 \\ v_2 \\ v_3 \end{pmatrix}, \mu \right) \right) = \Omega_2 \left(\left(\begin{pmatrix} v_1 \\ v_2 - v_1 \\ v_3 - v_1 \end{pmatrix}, \mu \right) \right) + v_1.$$

Étant donné un vecteur $v \in \mathbb{R}_+^3$, on pose $v^{(0)} = v$, $\omega^{(0)} = 0$ et pour $n \geq 1$,

$$\begin{aligned} \Omega_2(v, \mu) &= \Omega_2(v^{(n)}, \mu) + \omega^{(n)} \\ v^{(n)} &= Mv^{(n-1)} \end{aligned}$$

où $M = \begin{bmatrix} 1 & 0 & 0 \\ -1 & 1 & 0 \\ -1 & 0 & 1 \end{bmatrix}$.

Algorithme

- Si il existe $n \geq 0$ tel que $v^{(n)} = (0, 0, h)$ (rat. dép.) :

$$\Omega_2(v, \mu) = \omega^{(n)} + (\mu \bmod h).$$

- Sinon, (rat. indép.), on a $\Omega_2(v, \mu) = \|v^{(\infty)}\|_\infty + \omega^{(\infty)}$.

$$\Omega_2 \left(\left(\begin{pmatrix} v_1 \\ v_2 \\ v_3 \end{pmatrix}, \mu \right) \right) = \Omega_2 \left(\left(\begin{pmatrix} v_1 \\ v_2 - v_1 \\ v_3 - v_1 \end{pmatrix}, \mu \right) \right) + v_1.$$

Étant donné un vecteur $v \in \mathbb{R}_+^3$, on pose $v^{(0)} = v$, $\omega^{(0)} = 0$ et pour $n \geq 1$,

$$\begin{aligned} \Omega_2(v, \mu) &= \Omega_2(v^{(n)}, \mu) + \omega^{(n)} \\ v^{(n)} &= Mv^{(n-1)} \end{aligned}$$

où $M = \begin{bmatrix} 1 & 0 & 0 \\ -1 & 1 & 0 \\ -1 & 0 & 1 \end{bmatrix}$.

Algorithme

- Si il existe $n \geq 0$ tel que $v^{(n)} = (0, 0, h)$ (rat. dép.) :

$$\Omega_2(v, \mu) = \omega^{(n)} + (\mu \bmod h).$$

- Sinon, (rat. indép.), on a $\Omega_2(v, \mu) = \|v^{(\infty)}\|_\infty + \omega^{(\infty)}$.

- S'il existe $n \geq 0$ tel que $v_3^{(n)} \geq v_1^{(n)} + v_2^{(n)}$ alors $\Omega_2(v, \mu) = v_3^{(n)} + \omega^{(n)}$.

$$\Omega_2 \left(\begin{pmatrix} v_1 \\ v_2 \\ v_3 \end{pmatrix}, \mu \right) = \Omega_2 \left(\begin{pmatrix} v_1 \\ v_2 - v_1 \\ v_3 - v_1 \end{pmatrix}, \mu \right) + v_1.$$

Étant donné un vecteur $v \in \mathbb{R}_+^3$, on pose $v^{(0)} = v$, $\omega^{(0)} = 0$ et pour $n \geq 1$,

$$\begin{aligned} \Omega_2(v, \mu) &= \Omega_2(v^{(n)}, \mu) + \omega^{(n)} \\ v^{(n)} &= Mv^{(n-1)} \end{aligned}$$

où $M = \begin{bmatrix} 1 & 0 & 0 \\ -1 & 1 & 0 \\ -1 & 0 & 1 \end{bmatrix}$.

Algorithme

- Si il existe $n \geq 0$ tel que $v^{(n)} = (0, 0, h)$ (rat. dép.) :

$$\Omega_2(v, \mu) = \omega^{(n)} + (\mu \bmod h).$$

- Sinon, (rat. indép.), on a $\Omega_2(v, \mu) = \|v^{(\infty)}\|_\infty + \omega^{(\infty)}$.

- S'il existe $n \geq 0$ tel que $v_3^{(n)} \geq v_1^{(n)} + v_2^{(n)}$ alors $\Omega_2(v, \mu) = v_3^{(n)} + \omega^{(n)}$.

- Sinon $\Omega_2(v, \mu) = \frac{v_1 + v_2 + v_3}{2}$.

$$v^{(n+1)} = M^{(n)} v^{(n)}.$$

$$M_1 = \begin{bmatrix} 1 & 0 & 0 \\ -1 & 1 & 0 \\ -1 & 0 & 1 \end{bmatrix}, \quad M_2 = \begin{bmatrix} -1 & 1 & 0 \\ 1 & 0 & 0 \\ -1 & 0 & 1 \end{bmatrix}, \quad M_3 = \begin{bmatrix} -1 & 1 & 0 \\ -1 & 0 & 1 \\ 1 & 0 & 0 \end{bmatrix}.$$

$$M^{(n)} = \begin{cases} M_1 & \text{si } v_1^{(n)} < v_2^{(n)} - v_1^{(n)} \\ M_2 & \text{si } v_2^{(n)} - v_1^{(n)} < v_1^{(n)} \\ M_3 & \text{si } v_3^{(n)} - v_1^{(n)} < v_1^{(n)} \end{cases}$$

Plan de Tribonacci

Soit α la racine réelle de $x^3 + x^2 + x - 1$.

On pose $v = (\alpha, \alpha + \alpha^2, 1)$. On a alors que

$$M_3 v = \begin{bmatrix} -1 & 1 & 0 \\ -1 & 0 & 1 \\ 1 & 0 & 0 \end{bmatrix} \begin{pmatrix} \alpha \\ \alpha + \alpha^2 \\ 1 \end{pmatrix} = \begin{pmatrix} \alpha^2 \\ 1 - \alpha \\ \alpha \end{pmatrix} = \alpha v$$

Soit α la racine réelle de $x^3 + x^2 + x - 1$.

On pose $v = (\alpha, \alpha + \alpha^2, 1)$. On a alors que

$$M_3 v = \begin{bmatrix} -1 & 1 & 0 \\ -1 & 0 & 1 \\ 1 & 0 & 0 \end{bmatrix} \begin{pmatrix} \alpha \\ \alpha + \alpha^2 \\ 1 \end{pmatrix} = \begin{pmatrix} \alpha^2 \\ 1 - \alpha \\ \alpha \end{pmatrix} = \alpha v$$

$$\Omega_2(v, 0) = \alpha + \alpha^2 + \alpha^3 + \dots = \frac{\alpha}{1 - \alpha}.$$

On pose $P_0 = \{(0, 0, 0)\}$
et pour tout $n \geq 1$,

$$\mathcal{P}_n = \cup_{i=0}^n P_i,$$

$$P_n = P_{n-1} + \vec{t}_n,$$

où t_n est l'unique vecteur
de \mathbb{Z}^3 tel que $\langle t_n, v \rangle = \alpha^n$.



On pose $P_0 = \{(0, 0, 0)\}$
et pour tout $n \geq 1$,

$$\mathcal{P}_n = \cup_{i=0}^n P_i,$$

$$P_n = P_{n-1} + \vec{t}_n,$$

où t_n est l'unique vecteur
de \mathbb{Z}^3 tel que $\langle t_n, v \rangle = \alpha^n$.



On pose $P_0 = \{(0, 0, 0)\}$
et pour tout $n \geq 1$,

$$\mathcal{P}_n = \cup_{i=0}^n P_i,$$

$$P_n = P_{n-1} + \vec{t}_n,$$

où t_n est l'unique vecteur
de \mathbb{Z}^3 tel que $\langle t_n, v \rangle = \alpha^n$.



On pose $P_0 = \{(0, 0, 0)\}$
et pour tout $n \geq 1$,

$$\mathcal{P}_n = \cup_{i=0}^n P_i,$$

$$P_n = P_{n-1} + \vec{t}_n,$$

où t_n est l'unique vecteur
de \mathbb{Z}^3 tel que $\langle t_n, v \rangle = \alpha^n$.

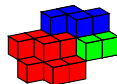


On pose $P_0 = \{(0, 0, 0)\}$
et pour tout $n \geq 1$,

$$\mathcal{P}_n = \cup_{i=0}^n P_i,$$

$$P_n = P_{n-1} + \vec{t}_n,$$

où t_n est l'unique vecteur
de \mathbb{Z}^3 tel que $\langle t_n, v \rangle = \alpha^n$.

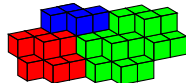


On pose $P_0 = \{(0, 0, 0)\}$
et pour tout $n \geq 1$,

$$\mathcal{P}_n = \cup_{i=0}^n P_i,$$

$$P_n = P_{n-1} + \vec{t}_n,$$

où t_n est l'unique vecteur
de \mathbb{Z}^3 tel que $\langle t_n, v \rangle = \alpha^n$.

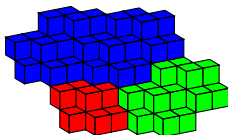


On pose $P_0 = \{(0, 0, 0)\}$
et pour tout $n \geq 1$,

$$\mathcal{P}_n = \cup_{i=0}^n P_i,$$

$$P_n = P_{n-1} + \vec{t}_n,$$

où t_n est l'unique vecteur
de \mathbb{Z}^3 tel que $\langle t_n, v \rangle = \alpha^n$.

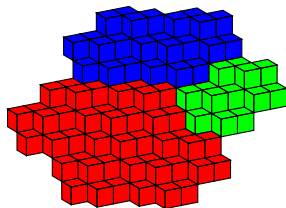


On pose $P_0 = \{(0, 0, 0)\}$
et pour tout $n \geq 1$,

$$\mathcal{P}_n = \cup_{i=0}^n P_i,$$

$$P_n = P_{n-1} + \vec{t}_n,$$

où t_n est l'unique vecteur
de \mathbb{Z}^3 tel que $\langle t_n, v \rangle = \alpha^n$.

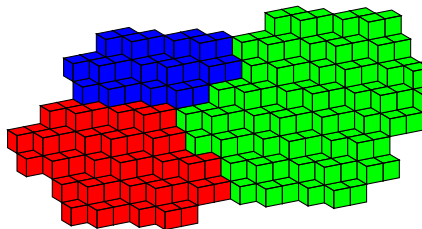


On pose $P_0 = \{(0, 0, 0)\}$
et pour tout $n \geq 1$,

$$\mathcal{P}_n = \cup_{i=0}^n P_i,$$

$$P_n = P_{n-1} + \vec{t}_n,$$

où t_n est l'unique vecteur
de \mathbb{Z}^3 tel que $\langle t_n, v \rangle = \alpha^n$.

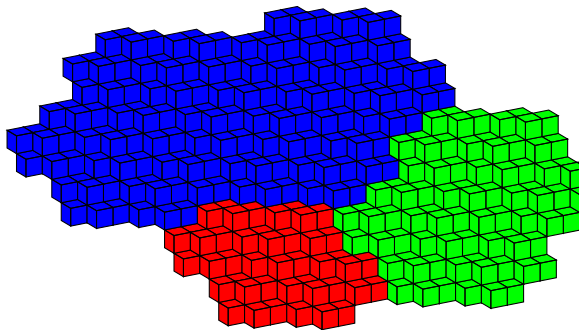


On pose $P_0 = \{(0, 0, 0)\}$
et pour tout $n \geq 1$,

$$\mathcal{P}_n = \cup_{i=0}^n P_i,$$

$$P_n = P_{n-1} + \vec{t}_n,$$

où t_n est l'unique vecteur
de \mathbb{Z}^3 tel que $\langle t_n, v \rangle = \alpha^n$.

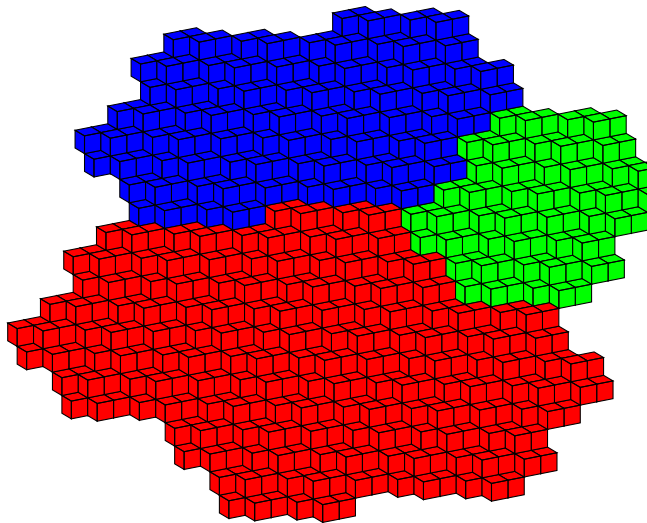


On pose $P_0 = \{(0, 0, 0)\}$
et pour tout $n \geq 1$,

$$\mathcal{P}_n = \cup_{i=0}^n P_i,$$

$$P_n = P_{n-1} + \vec{t}_n,$$

où t_n est l'unique vecteur
de \mathbb{Z}^3 tel que $\langle t_n, v \rangle = \alpha^n$.

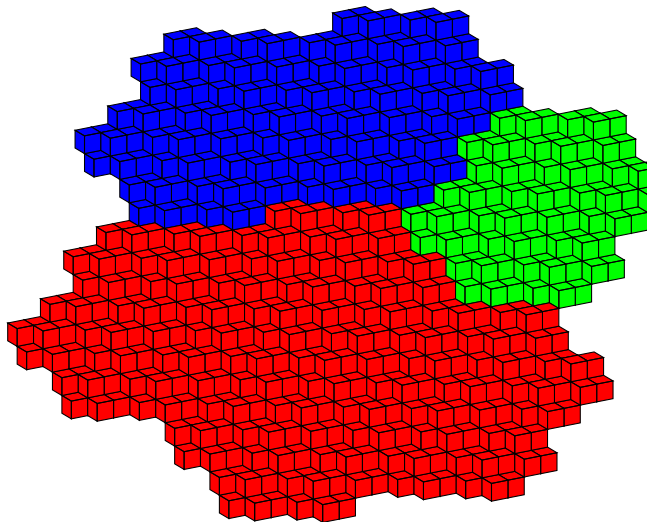


On pose $P_0 = \{(0, 0, 0)\}$
et pour tout $n \geq 1$,

$$\mathcal{P}_n = \cup_{i=0}^n P_i,$$

$$P_n = P_{n-1} + \vec{t}_n,$$

où t_n est l'unique vecteur
de \mathbb{Z}^3 tel que $\langle t_n, v \rangle = \alpha^n$.



- $x \in P_n \implies \langle x, v \rangle = \alpha^n + \sum_{i=0}^{n-1} \delta_i \alpha^i$, où chaque $\delta_i \in \{0, 1\}$.
- $P_n \subset P_{n+3}$

Théorème

$$\lim_{n \rightarrow \infty} \mathcal{P}_n = P((\alpha, \alpha^2 + \alpha, 1), 0, \Omega_2(v, 0)).$$

Théorème

$$\lim_{n \rightarrow \infty} \mathcal{P}_n = P((\alpha, \alpha^2 + \alpha, 1), 0, \Omega_2(v, 0)).$$

Preuve

On a $\Omega_2(v, 0) = \frac{\alpha}{1-\alpha}$.

- \subset
 $x \in \mathcal{P}_n \implies 0 \leq \langle x, v \rangle < 1 + \alpha + \alpha^2 + \dots$

Théorème

$$\lim_{n \rightarrow \infty} \mathcal{P}_n = P((\alpha, \alpha^2 + \alpha, 1), 0, \Omega_2(v, 0)).$$

Preuve

On a $\Omega_2(v, 0) = \frac{\alpha}{1-\alpha}$.

- \subset
 $x \in \mathcal{P}_n \implies 0 \leq \langle x, v \rangle < 1 + \alpha + \alpha^2 + \dots$

- \supset
 Dans le contexte des systèmes de numération, (Frougny, Solomyak, 1992),

$$\forall x \in \mathbb{Z}^3, \exists (\delta_i)_{-n \leq i \leq n}, \delta_i \in \{0, 1\} \text{ tel que } \sum_{i=-n}^n \delta_i \alpha^i = \langle x, (\alpha, \alpha + \alpha^2, 1) \rangle.$$

Théorème

$$\lim_{n \rightarrow \infty} \mathcal{P}_n = P((\alpha, \alpha^2 + \alpha, 1), 0, \Omega_2(v, 0)).$$

Preuve

On a $\Omega_2(v, 0) = \frac{\alpha}{1-\alpha}$.

- \subset
 $x \in \mathcal{P}_n \implies 0 \leq \langle x, v \rangle < 1 + \alpha + \alpha^2 + \dots$

- \supset
Dans le contexte des systèmes de numération, (Frougny, Solomyak, 1992),

$$\forall x \in \mathbb{Z}^3, \exists (\delta_i)_{-n \leq i \leq n}, \delta_i \in \{0, 1\} \text{ tel que } \sum_{i=-n}^n \delta_i \alpha^i = \langle x, (\alpha, \alpha + \alpha^2, 1) \rangle.$$

Propriétés

- Le plan construit est 2-connexe.

Théorème

$$\lim_{n \rightarrow \infty} \mathcal{P}_n = P((\alpha, \alpha^2 + \alpha, 1), 0, \Omega_2(v, 0)).$$

Preuve

On a $\Omega_2(v, 0) = \frac{\alpha}{1-\alpha}$.

- \subset
 $x \in \mathcal{P}_n \implies 0 \leq \langle x, v \rangle < 1 + \alpha + \alpha^2 + \dots$

- \supset
Dans le contexte des systèmes de numération, (Frougny, Solomyak, 1992),

$$\forall x \in \mathbb{Z}^3, \exists (\delta_i)_{-n \leq i \leq n}, \delta_i \in \{0, 1\} \text{ tel que } \sum_{i=-n}^n \delta_i \alpha^i = \langle x, (\alpha, \alpha + \alpha^2, 1) \rangle.$$

Propriétés

- Le plan construit est 2-connexe.
- Pour tout $n \geq 0$, \mathcal{P}_n est un arbre.

Théorème

$$\lim_{n \rightarrow \infty} \mathcal{P}_n = P((\alpha, \alpha^2 + \alpha, 1), 0, \Omega_2(v, 0)).$$

Preuve

On a $\Omega_2(v, 0) = \frac{\alpha}{1-\alpha}$.

- \subset
 $x \in \mathcal{P}_n \implies 0 \leq \langle x, v \rangle < 1 + \alpha + \alpha^2 + \dots$

- \supset
Dans le contexte des systèmes de numération, (Frougny, Solomyak, 1992),

$$\forall x \in \mathbb{Z}^3, \exists (\delta_i)_{-n \leq i \leq n}, \delta_i \in \{0, 1\} \text{ tel que } \sum_{i=-n}^n \delta_i \alpha^i = \langle x, (\alpha, \alpha + \alpha^2, 1) \rangle.$$

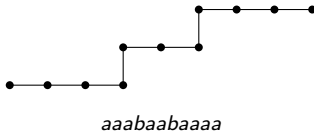
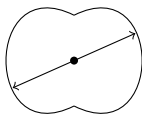
Propriétés

- Le plan construit est 2-connexe.
- Pour tout $n \geq 0$, \mathcal{P}_n est un arbre.
- Pour tout $n \geq 0$, \mathcal{P}_n est centrosymétrique.

Définition

Un ensemble $S \subset \mathbb{R}^d$ est dit *centrosymétrique* de centre c si

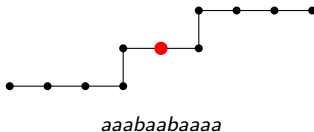
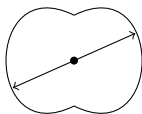
$$c + x \in S \implies c - x \in S.$$



Définition

Un ensemble $S \subset \mathbb{R}^d$ est dit *centrosymétrique* de centre c si

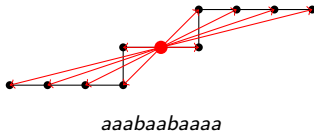
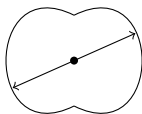
$$c + x \in S \implies c - x \in S.$$



Définition

Un ensemble $S \subset \mathbb{R}^d$ est dit *centrosymétrique* de centre c si

$$c + x \in S \implies c - x \in S.$$



Construction par translation et union

Étant donné un vecteur $v \in \mathbb{R}_+^3$ avec $v_1 \leq v_2 \leq v_3$, on a

$$v^{(n+1)} = M^{(n)}v^{(n)},$$

$$M_1 = \begin{bmatrix} 1 & 0 & 0 \\ -1 & 1 & 0 \\ -1 & 0 & 1 \end{bmatrix}, M_2 = \begin{bmatrix} -1 & 1 & 0 \\ 1 & 0 & 0 \\ -1 & 0 & 1 \end{bmatrix}, M_3 = \begin{bmatrix} -1 & 1 & 0 \\ -1 & 0 & 1 \\ 1 & 0 & 0 \end{bmatrix}.$$

On pose $\mathcal{M}_0 = Id$, pour tout $n \geq 1$,

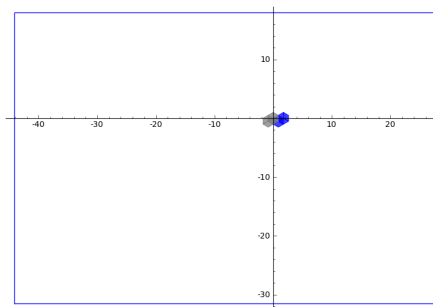
$$\mathcal{M}_n = M^{(n-1)}\mathcal{M}_{(n-1)} \text{ et } \vec{t}_n = (1, 0, 0)\mathcal{M}^n.$$

On pose $\mathcal{P}_0 = \{(0, 0, 0)\}$ et pour tout $n \geq 1$,

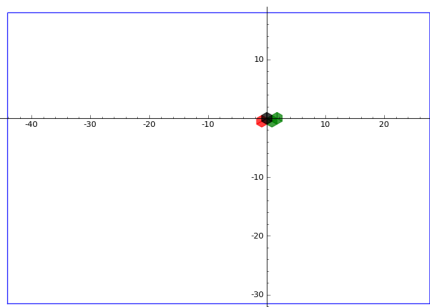
$$\mathcal{P}_n = \cup_{i=0}^n \mathcal{P}_i,$$

$$\mathcal{P}_n = \mathcal{P}_{n-1} + \vec{t}_n,$$

On pose $v = (67, 107, 129)$, on obtiens la emphsuite directrice $[3, 3, 3, 1, 1, 2, 2, 3, 3, 3]$.

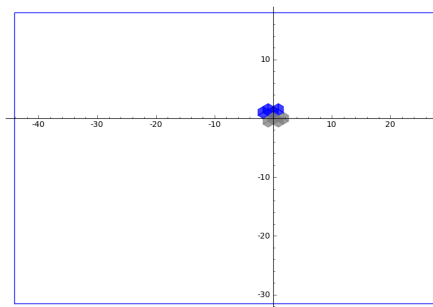


Gris : $\mathcal{P}_{n-1} \setminus (\mathcal{P}_{n-1} + \vec{t}_n)$
 Jaune : $\mathcal{P}_{n-1} \cap (\mathcal{P}_{n-1} + \vec{t}_n)$
 Bleu : $(\mathcal{P}_{n-1} + \vec{t}_n) \setminus \mathcal{P}_{n-1}$

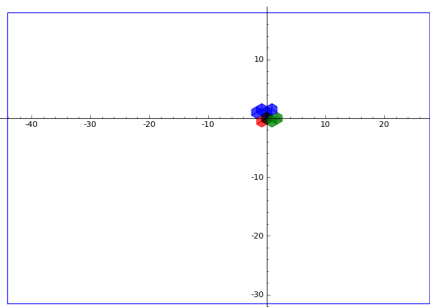


Rouge : composante 2-connexe de $(1, 0, 0)$.
 Vert : composante 2-connexe de $(0, 1, 0)$.
 Bleu : composante 2-connexe de $(0, 0, 1)$.

On pose $v = (67, 107, 129)$, on obtiens la emphsuite directrice $[3, 3, 3, 1, 1, 2, 2, 3, 3, 3]$.

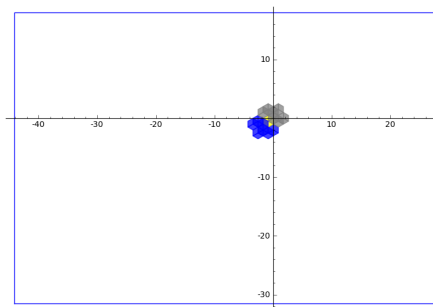


Gris : $\mathcal{P}_{n-1} \setminus (\mathcal{P}_{n-1} + \vec{t}_n)$
 Jaune : $\mathcal{P}_{n-1} \cap (\mathcal{P}_{n-1} + \vec{t}_n)$
 Bleu : $(\mathcal{P}_{n-1} + \vec{t}_n) \setminus \mathcal{P}_{n-1}$

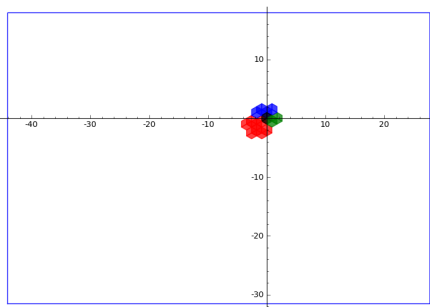


Rouge : composante 2-connexe de $(1, 0, 0)$.
 Vert : composante 2-connexe de $(0, 1, 0)$.
 Bleu : composante 2-connexe de $(0, 0, 1)$.

On pose $v = (67, 107, 129)$, on obtiens la emphsuite directrice $[3, 3, 3, 1, 1, 2, 2, 3, 3, 3]$.

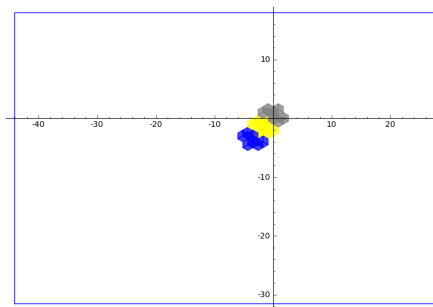


Gris : $\mathcal{P}_{n-1} \setminus (\mathcal{P}_{n-1} + \vec{t}_n)$
 Jaune : $\mathcal{P}_{n-1} \cap (\mathcal{P}_{n-1} + \vec{t}_n)$
 Bleu : $(\mathcal{P}_{n-1} + \vec{t}_n) \setminus \mathcal{P}_{n-1}$

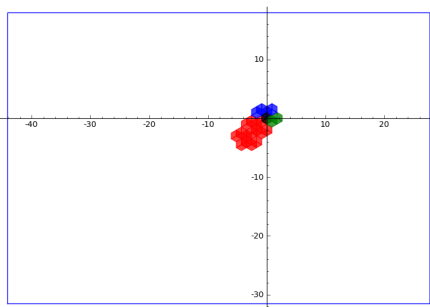


Rouge : composante 2-connexe de $(1, 0, 0)$.
 Vert : composante 2-connexe de $(0, 1, 0)$.
 Bleu : composante 2-connexe de $(0, 0, 1)$.

On pose $v = (67, 107, 129)$, on obtiens la emphsuite directrice $[3, 3, 3, 1, 1, 2, 2, 3, 3, 3]$.

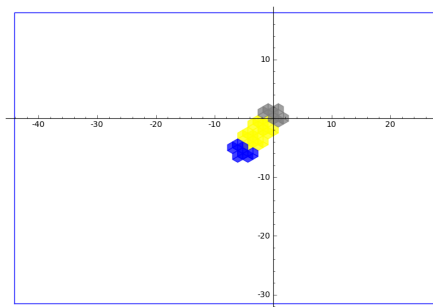


Gris : $\mathcal{P}_{n-1} \setminus (\mathcal{P}_{n-1} + \vec{t}_n)$
 Jaune : $\mathcal{P}_{n-1} \cap (\mathcal{P}_{n-1} + \vec{t}_n)$
 Bleu : $(\mathcal{P}_{n-1} + \vec{t}_n) \setminus \mathcal{P}_{n-1}$

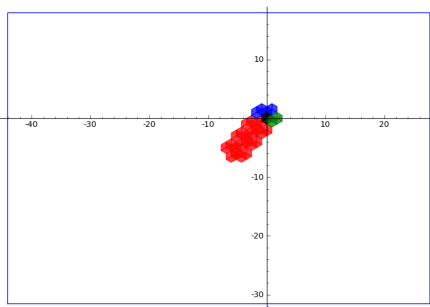


Rouge : composante 2-connexe de $(1, 0, 0)$.
 Vert : composante 2-connexe de $(0, 1, 0)$.
 Bleu : composante 2-connexe de $(0, 0, 1)$.

On pose $v = (67, 107, 129)$, on obtiens la emphsuite directrice $[3, 3, 3, 1, 1, 2, 2, 3, 3, 3]$.

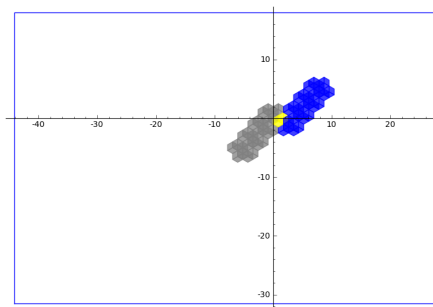


Gris : $\mathcal{P}_{n-1} \setminus (\mathcal{P}_{n-1} + \vec{t}_n)$
 Jaune : $\mathcal{P}_{n-1} \cap (\mathcal{P}_{n-1} + \vec{t}_n)$
 Bleu : $(\mathcal{P}_{n-1} + \vec{t}_n) \setminus \mathcal{P}_{n-1}$

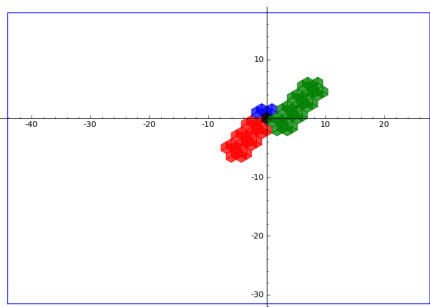


Rouge : composante 2-connexe de $(1, 0, 0)$.
 Vert : composante 2-connexe de $(0, 1, 0)$.
 Bleu : composante 2-connexe de $(0, 0, 1)$.

On pose $v = (67, 107, 129)$, on obtiens la emphsuite directrice $[3, 3, 3, 1, 1, 2, 2, 3, 3, 3]$.

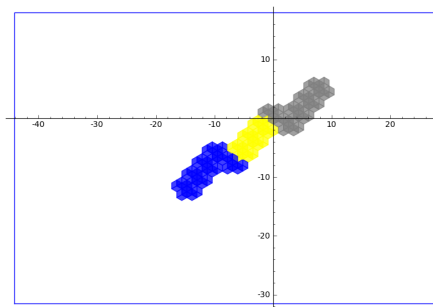


Gris : $\mathcal{P}_{n-1} \setminus (\mathcal{P}_{n-1} + \vec{t}_n)$
 Jaune : $\mathcal{P}_{n-1} \cap (\mathcal{P}_{n-1} + \vec{t}_n)$
 Bleu : $(\mathcal{P}_{n-1} + \vec{t}_n) \setminus \mathcal{P}_{n-1}$

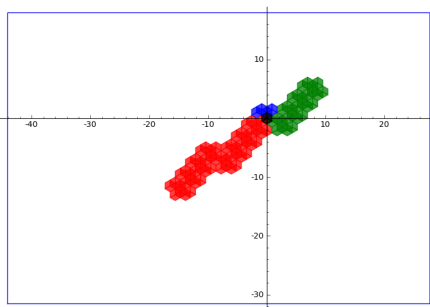


Rouge : composante 2-connexe de $(1, 0, 0)$.
 Vert : composante 2-connexe de $(0, 1, 0)$.
 Bleu : composante 2-connexe de $(0, 0, 1)$.

On pose $v = (67, 107, 129)$, on obtiens la emphsuite directrice $[3, 3, 3, 1, 1, 2, 2, 3, 3, 3]$.

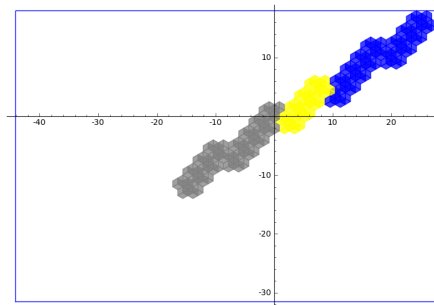


Gris : $\mathcal{P}_{n-1} \setminus (\mathcal{P}_{n-1} + \vec{t}_n)$
 Jaune : $\mathcal{P}_{n-1} \cap (\mathcal{P}_{n-1} + \vec{t}_n)$
 Bleu : $(\mathcal{P}_{n-1} + \vec{t}_n) \setminus \mathcal{P}_{n-1}$

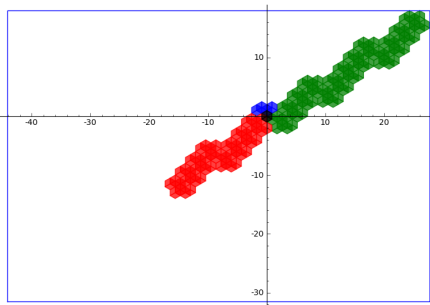


Rouge : composante 2-connexe de $(1, 0, 0)$.
 Vert : composante 2-connexe de $(0, 1, 0)$.
 Bleu : composante 2-connexe de $(0, 0, 1)$.

On pose $v = (67, 107, 129)$, on obtiens la emphsuite directrice $[3, 3, 3, 1, 1, 2, 2, 3, 3, 3]$.

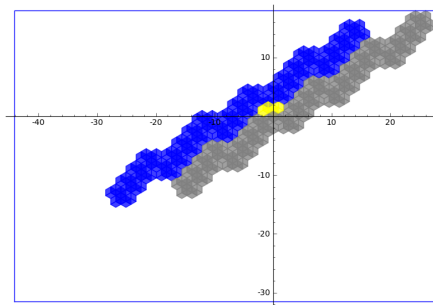


Gris : $\mathcal{P}_{n-1} \setminus (\mathcal{P}_{n-1} + \vec{t}_n)$
 Jaune : $\mathcal{P}_{n-1} \cap (\mathcal{P}_{n-1} + \vec{t}_n)$
 Bleu : $(\mathcal{P}_{n-1} + \vec{t}_n) \setminus \mathcal{P}_{n-1}$

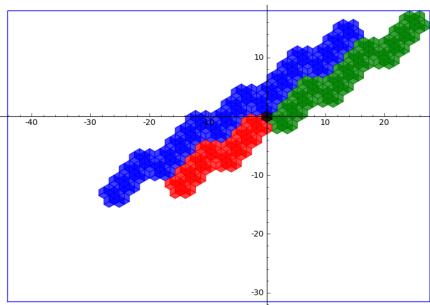


Rouge : composante 2-connexe de $(1, 0, 0)$.
 Vert : composante 2-connexe de $(0, 1, 0)$.
 Bleu : composante 2-connexe de $(0, 0, 1)$.

On pose $v = (67, 107, 129)$, on obtiens la emphsuite directrice $[3, 3, 3, 1, 1, 2, 2, 3, 3, 3]$.

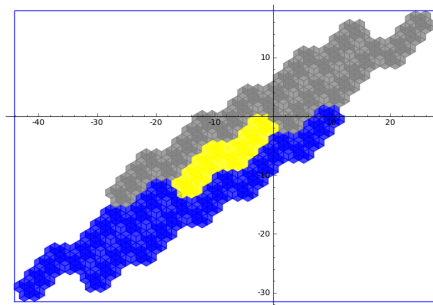


Gris : $\mathcal{P}_{n-1} \setminus (\mathcal{P}_{n-1} + \vec{t}_n)$
 Jaune : $\mathcal{P}_{n-1} \cap (\mathcal{P}_{n-1} + \vec{t}_n)$
 Bleu : $(\mathcal{P}_{n-1} + \vec{t}_n) \setminus \mathcal{P}_{n-1}$

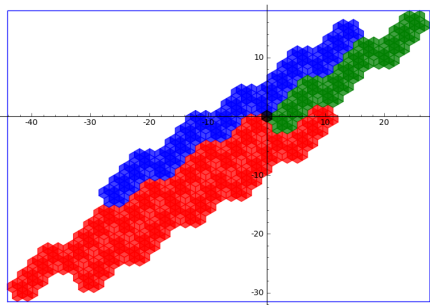


Rouge : composante 2-connexe de $(1, 0, 0)$.
 Vert : composante 2-connexe de $(0, 1, 0)$.
 Bleu : composante 2-connexe de $(0, 0, 1)$.

On pose $v = (67, 107, 129)$, on obtiens la emphsuite directrice $[3, 3, 3, 1, 1, 2, 2, 3, 3, 3]$.



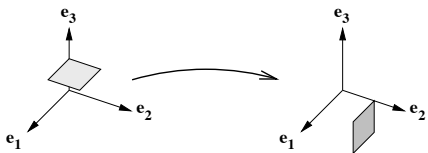
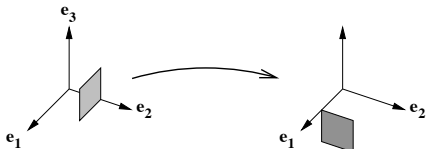
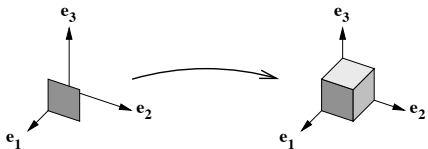
Gris : $\mathcal{P}_{n-1} \setminus (\mathcal{P}_{n-1} + \vec{t}_n)$
 Jaune : $\mathcal{P}_{n-1} \cap (\mathcal{P}_{n-1} + \vec{t}_n)$
 Bleu : $(\mathcal{P}_{n-1} + \vec{t}_n) \setminus \mathcal{P}_{n-1}$



Rouge : composante 2-connexe de $(1, 0, 0)$.
 Vert : composante 2-connexe de $(0, 1, 0)$.
 Bleu : composante 2-connexe de $(0, 0, 1)$.

Construction par substitutions généralisées

$$\sigma : \begin{array}{l} 1 \rightarrow 12 \\ 2 \rightarrow 13 \\ 3 \rightarrow 1 \end{array}$$



Let $\mathcal{A}_d = \{1, 2, \dots, d\}$ and (e_1, e_2, \dots, e_d) be the canonical base of \mathbb{R}^d . We consider \mathfrak{F} be the vector space of mappings from $\mathbb{Z}^d \times \mathcal{A}_d$ to \mathbb{R} that takes everywhere zero value except for a finite set.

Let $\mathcal{A}_d = \{1, 2, \dots, d\}$ and (e_1, e_2, \dots, e_d) be the canonical base of \mathbb{R}^d . We consider \mathfrak{F} be the vector space of mappings from $\mathbb{Z}^d \times \mathcal{A}_d$ to \mathbb{R} that takes everywhere zero value except for a finite set.

Let $[\vec{x}, i]$ be the element of \mathfrak{F} that takes value 1 at (\vec{x}, i) and 0 elsewhere.

$$\pi_d : \mathcal{A}_d^* \longrightarrow \mathfrak{F}$$

$$\pi_d(w) = \sum_{w=\vec{p} \cdot i \cdot s} [\vec{p}, i]$$

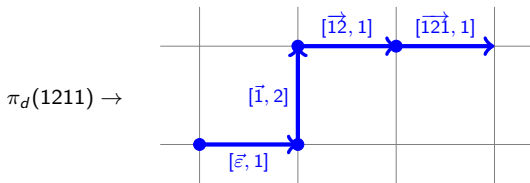
Formalization of the Freeman chain-code

Let $\mathcal{A}_d = \{1, 2, \dots, d\}$ and (e_1, e_2, \dots, e_d) be the canonical base of \mathbb{R}^d . We consider \mathfrak{F} be the vector space of mappings from $\mathbb{Z}^d \times \mathcal{A}_d$ to \mathbb{R} that takes everywhere zero value except for a finite set.

Let $[\vec{x}, i]$ be the element of \mathfrak{F} that takes value 1 at (\vec{x}, i) and 0 elsewhere.

$$\pi_d : \mathcal{A}_d^* \longrightarrow \mathfrak{F}$$

$$\pi_d(w) = \sum_{w=p \cdot i \cdot s} [\vec{p}, i]$$



The *1-dimensional geometric realization* $E_1(\sigma)$ of a word morphism σ is the linear mapping defined on \mathfrak{F} such that :

$$\begin{array}{ccc} \mathcal{A}_d^* & \xrightarrow{\sigma} & \mathcal{A}_d^* \\ \downarrow \pi_d & & \downarrow \pi_d \\ \mathfrak{F} & \xrightarrow{E_1(\sigma)} & \mathfrak{F} \end{array}$$

The *1-dimensional geometric realization* $E_1(\sigma)$ of a word morphism σ is the linear mapping defined on \mathfrak{F} such that :

$$\begin{array}{ccc} \mathcal{A}_d^* & \xrightarrow{\sigma} & \mathcal{A}_d^* \\ \downarrow \pi_d & & \downarrow \pi_d \\ \mathfrak{F} & \xrightarrow{E_1(\sigma)} & \mathfrak{F} \end{array}$$

$$E_1(\sigma)[\vec{x}, e_i] := \sum_{\substack{uj \text{ prefix of } \sigma(i) \\ u \in \mathcal{A}_d^*, j \in \mathcal{A}_d}} [M_\sigma \vec{x} + \vec{u}, e_j].$$

We consider \mathfrak{F}^* the dual space of \mathfrak{F} and the linear form :

$$\langle [\vec{y}, j], [\vec{x}, i]^* \rangle \stackrel{\text{def.}}{=} \begin{cases} 1 & \text{if } \vec{x} = \vec{y} \text{ and } i = j, \\ 0 & \text{otherwise.} \end{cases}$$

The dual operator E_1^* of E_1 is given by

$$\langle E_1(\sigma)[\vec{y}, j], [\vec{x}, i]^* \rangle = \langle [\vec{y}, j], E_1^*(\sigma)[\vec{x}, i]^* \rangle.$$

In the case where M_σ is unimodular

$$E_1^*(\sigma)[\vec{x}, i]^* := \sum_{j \in \mathcal{A}} \sum_{ui \text{ prefix of } \sigma(j)} [M_\sigma^{-1}(\vec{x} - \vec{u}), j]^*.$$

We represent an element $[\vec{x}, i]^*$ as :

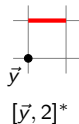
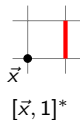
$$[\vec{x}, i]^* \longrightarrow \{ \vec{x} + \mathbf{e}_i + \sum_{i \neq j} \lambda \mathbf{e}_j \mid \lambda \in [0, 1] \}.$$

We represent an element $[\vec{x}, i]^*$ as :

$$[\vec{x}, i]^* \longrightarrow \left\{ \vec{x} + e_i + \sum_{i \neq j} \lambda e_j \mid \lambda \in [0, 1] \right\}.$$

Examples :

- $d = 2$

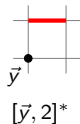
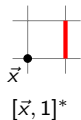


We represent an element $[\vec{x}, i]^*$ as :

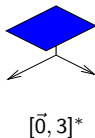
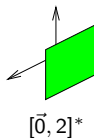
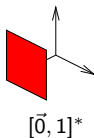
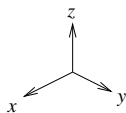
$$[\vec{x}, i]^* \longrightarrow \{ \vec{x} + e_i + \sum_{i \neq j} \lambda e_j \mid \lambda \in [0, 1] \}.$$

Examples :

- $d = 2$



- $d = 3$

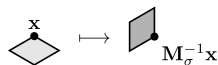
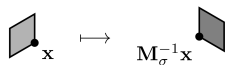
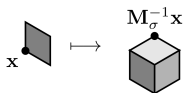


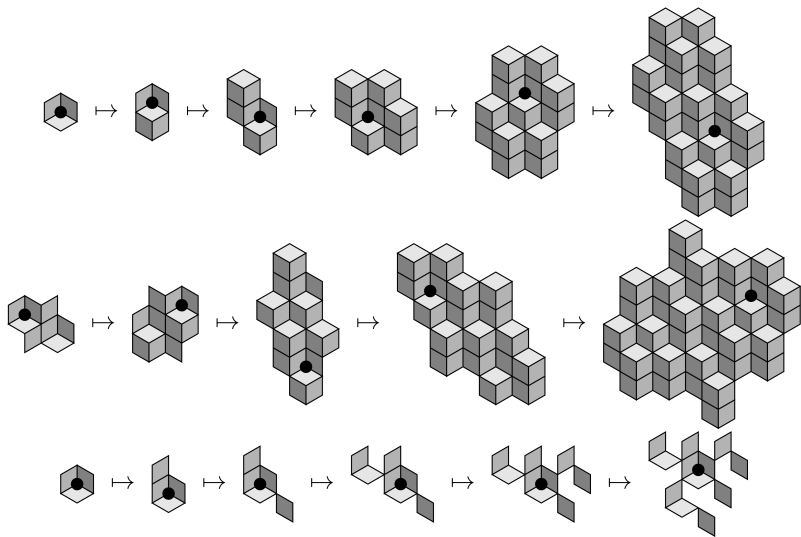
$$\text{Soit } \sigma : \begin{cases} 1 \mapsto 12, \\ 2 \mapsto 13, \\ 3 \mapsto 1 \end{cases}$$

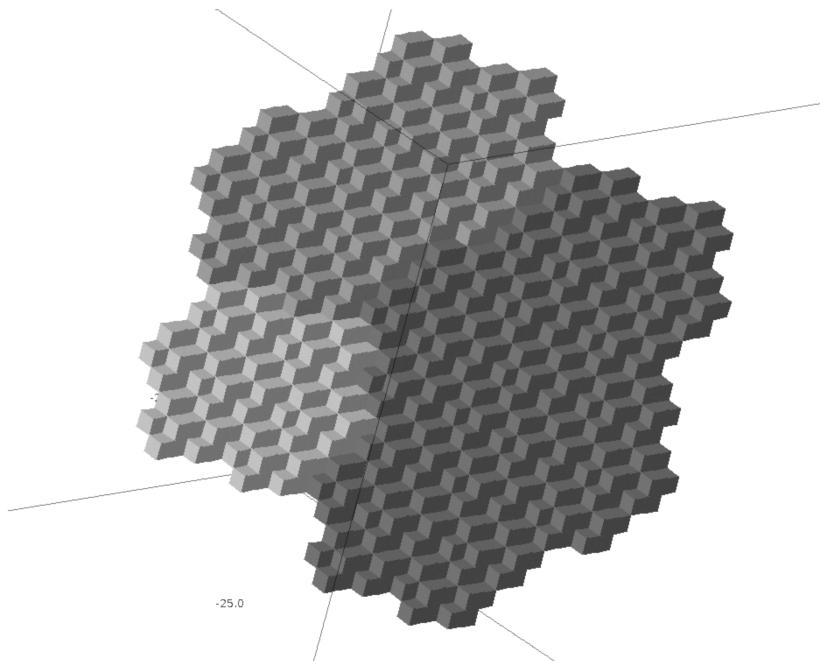
$$E_1^*(\sigma)([x, 1]^*) = M_\sigma^{-1}x + \{[(1, 0, -1), 1]^* + [(0, 1, -2), 2]^* + [(0, 0, 0), 3]^*\}$$

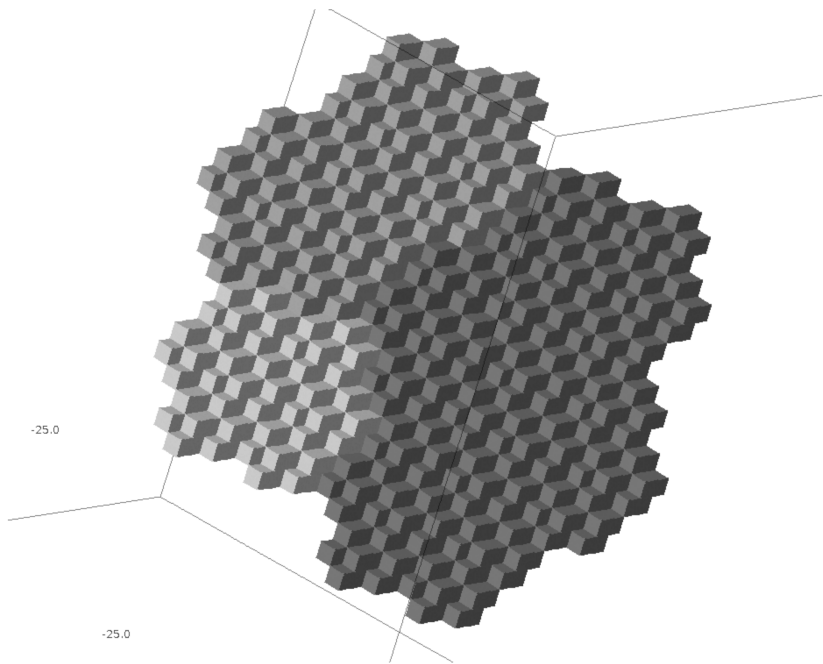
$$E_1^*(\sigma)([x, 2]^*) = M_\sigma^{-1}x + \{[(0, 0, 0), 1]^*\}$$

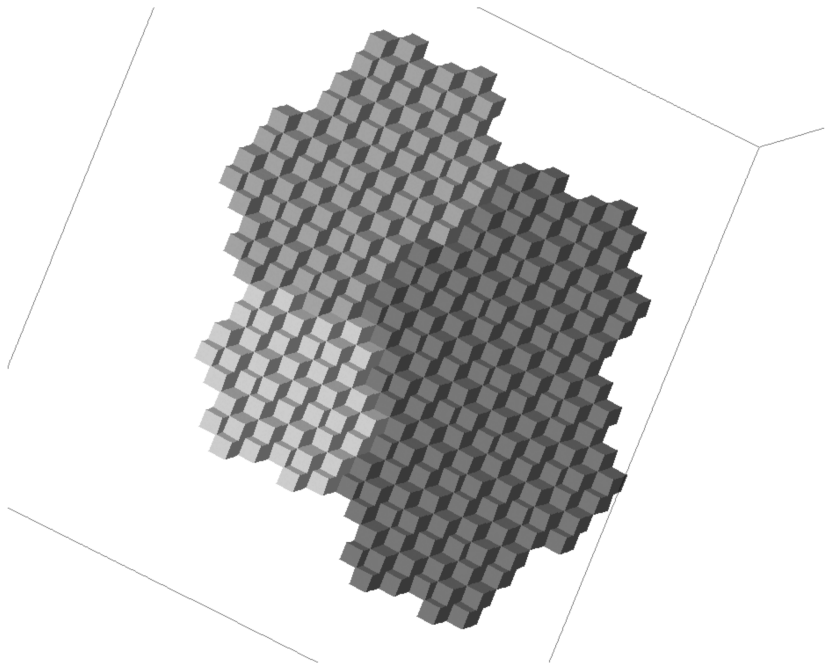
$$E_1^*(\sigma)([x, 3]^*) = M_\sigma^{-1}x + \{[(0, 0, 0), 2]^*\}$$

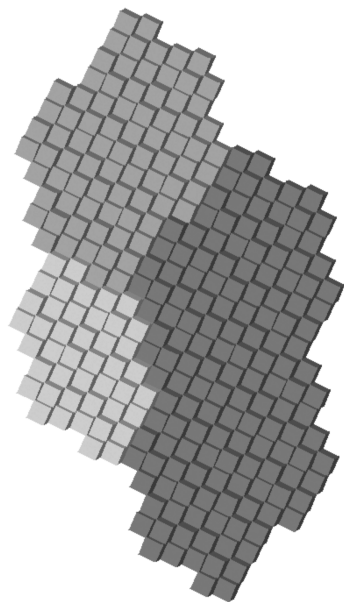


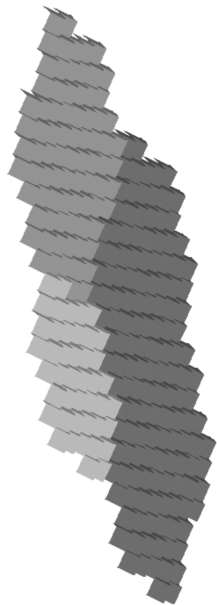




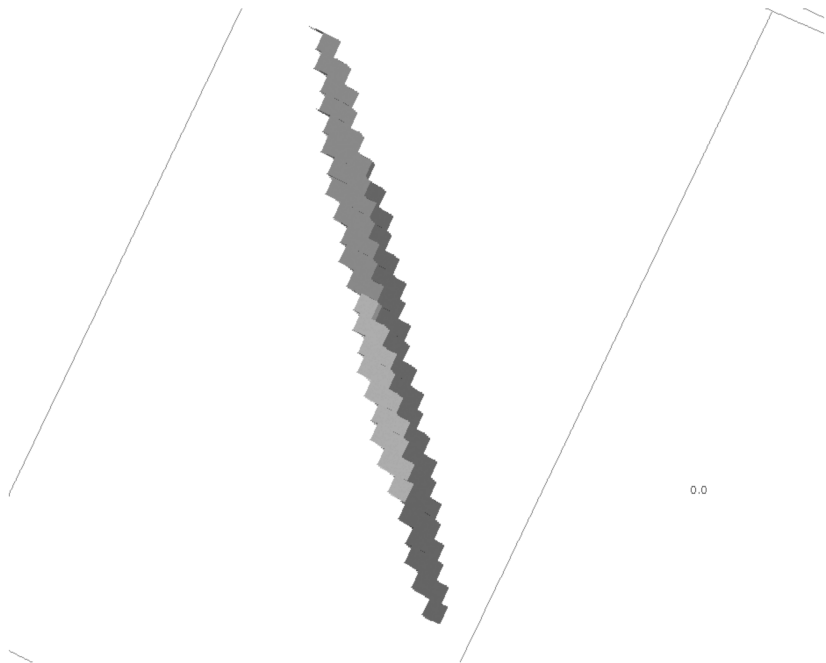




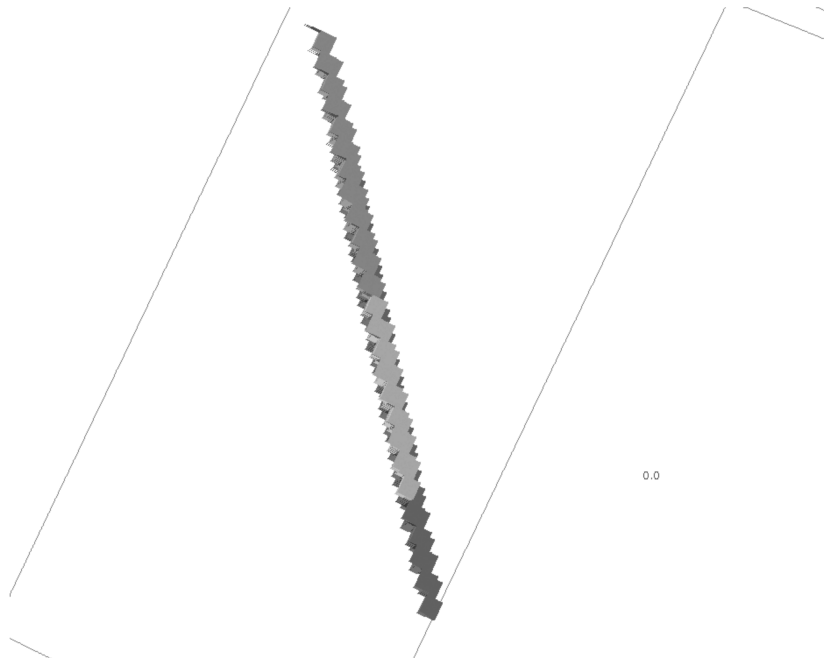




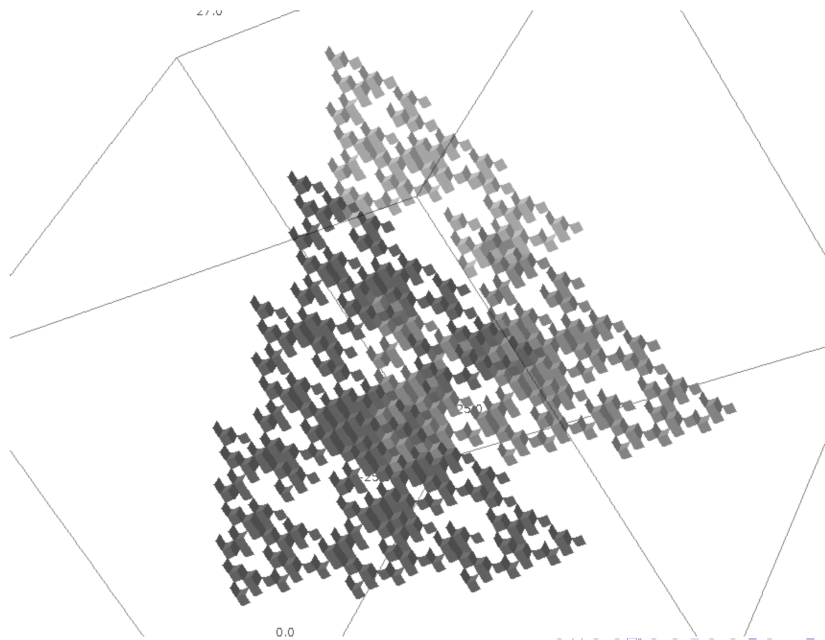
Exemple



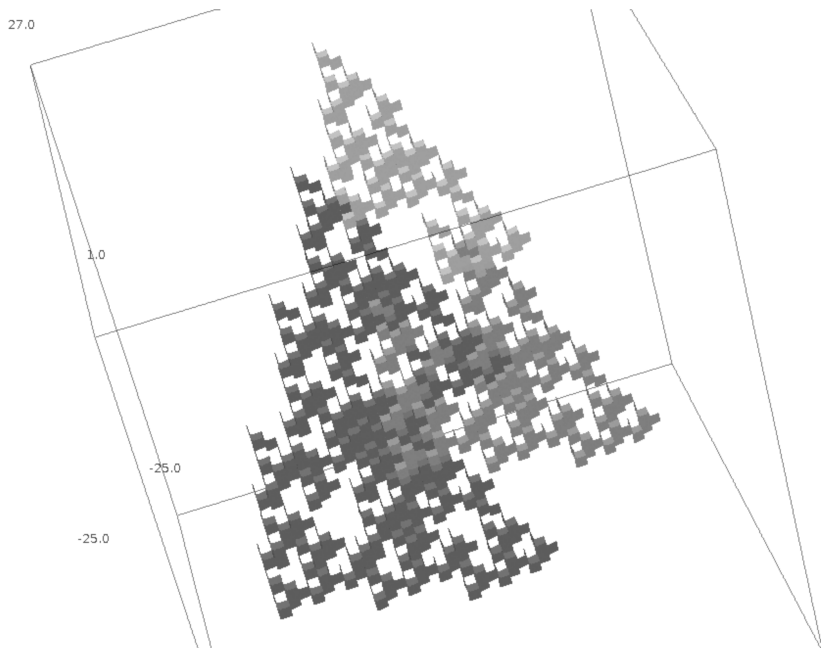
Exemple



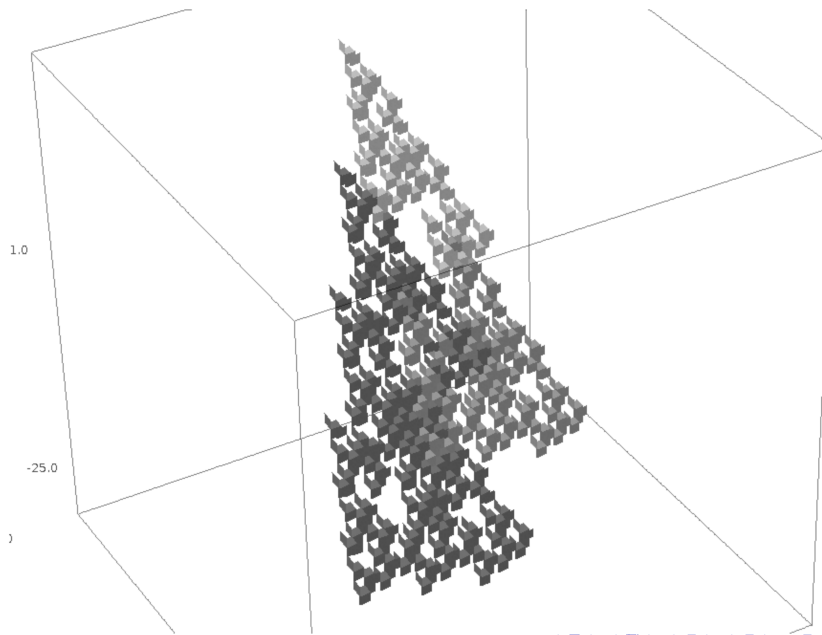
Exemple

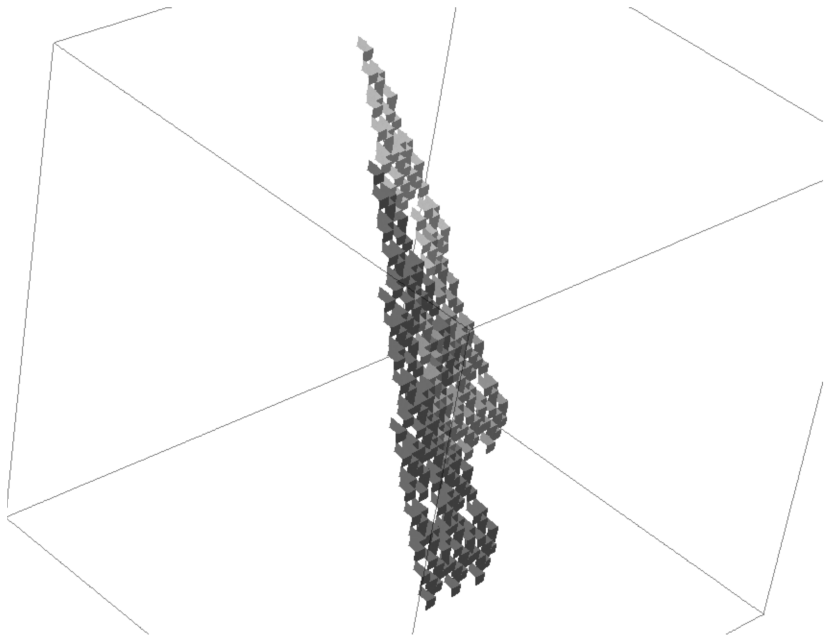


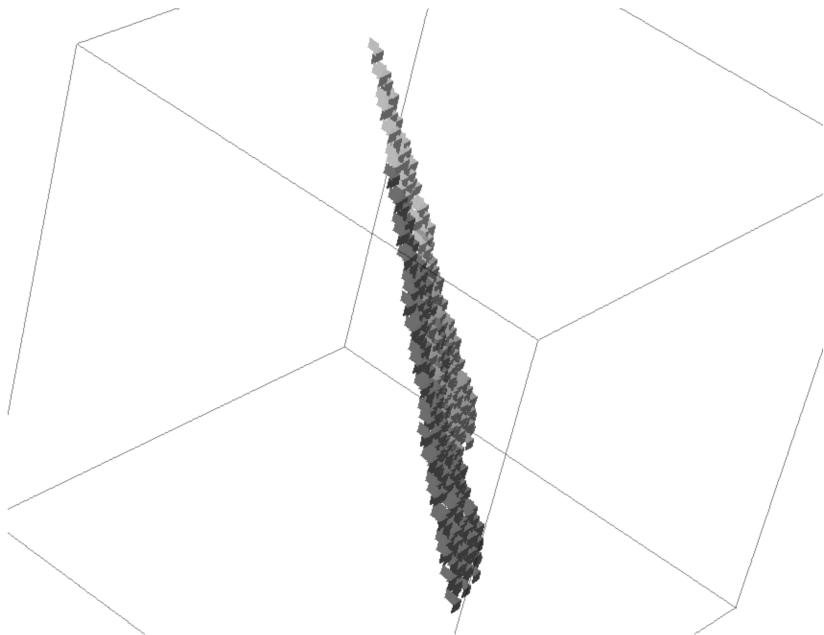
Exemple



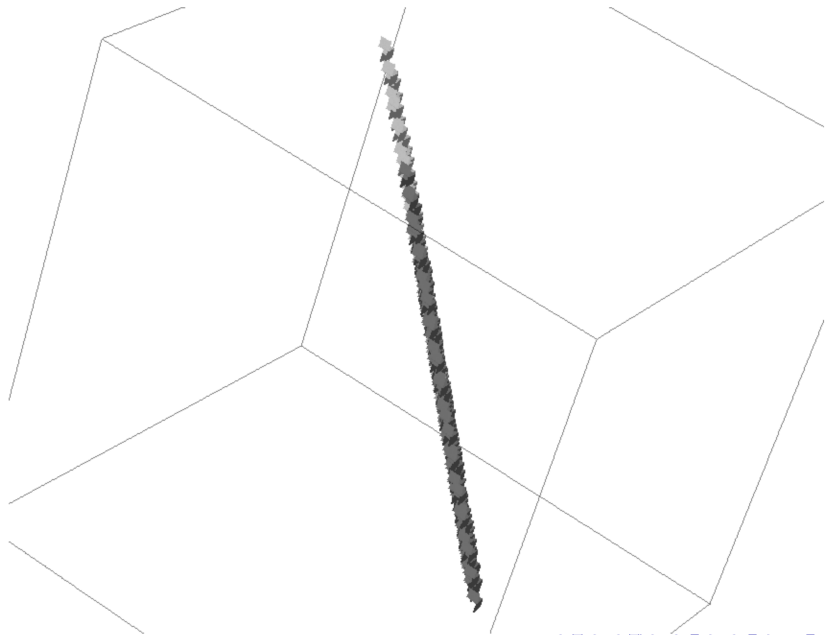
Example







Exemple



Soit $\mathfrak{G}_{\vec{v}} = \{[\vec{x}, i]^* \in \mathfrak{F}^* \mid \text{le plan normal à } \vec{v} \text{ intersects the segment } [\vec{x}, \vec{x} + e_i]\}$

Theorem (Arnoux, Ito, 2001)

Soit σ un morphisme primitif et unimodulaire, alors

$$E_1^*(\sigma)(\mathfrak{G}_{\vec{v}}) = \mathfrak{G}_{t_{M_\sigma} \vec{v}}$$

De plus, deux éléments distincts $(\vec{x}, e_i^*), (\vec{y}, e_j^*)$ ont des images disjointes par $E_1^*(\sigma)$.

Soit $\mathfrak{G}_{\vec{v}} = \{[\vec{x}, i]^* \in \mathfrak{F}^* \mid \text{le plan normal à } \vec{v} \text{ intersects the segment } [\vec{x}, \vec{x} + e_i]\}$

Theorem (Arnoux, Ito, 2001)

Soit σ un morphisme primitif et unimodulaire, alors

$$E_1^*(\sigma)(\mathfrak{G}_{\vec{v}}) = \mathfrak{G}_{t_{M_\sigma}\vec{v}}$$

De plus, deux éléments distincts $(\vec{x}, e_i^*), (\vec{y}, e_j^*)$ ont des images disjointes par $E_1^*(\sigma)$.

- $P \subset \mathfrak{G}_{\vec{v}} \implies E_1^*(\sigma)(P) \subset \mathfrak{G}_{t_{M_\sigma}\vec{v}}$.


Soit $\mathfrak{G}_{\vec{v}} = \{[\vec{x}, i]^* \in \mathfrak{F}^* \mid \text{le plan normal à } \vec{v} \text{ intersects the segment } [\vec{x}, \vec{x} + e_i]\}$

Theorem (Arnoux, Ito, 2001)

Soit σ un morphisme primitif et unimodulaire, alors

$$E_1^*(\sigma)(\mathfrak{G}_{\vec{v}}) = \mathfrak{G}_{t_{M_\sigma}\vec{v}}$$

De plus, deux éléments distincts $(\vec{x}, e_i^*), (\vec{y}, e_j^*)$ ont des images disjointes par $E_1^*(\sigma)$.

- $P \subset \mathfrak{G}_{\vec{v}} \implies E_1^*(\sigma)(P) \subset \mathfrak{G}_{t_{M_\sigma}\vec{v}}$.
- Pour tout $\vec{v} \in \mathbb{R}_+^3$ on a  $\subset \mathfrak{G}_{\vec{v}}$.

Soit $\mathfrak{G}_{\vec{v}} = \{[\vec{x}, i]^* \in \mathfrak{F}^* \mid \text{le plan normal à } \vec{v} \text{ intersects the segment } [\vec{x}, \vec{x} + e_i]\}$

Theorem (Arnoux, Ito, 2001)

Soit σ un morphisme primitif et unimodulaire, alors

$$E_1^*(\sigma)(\mathfrak{G}_{\vec{v}}) = \mathfrak{G}_{t_{M_\sigma} \vec{v}}$$

De plus, deux éléments distincts $(\vec{x}, e_i^*), (\vec{y}, e_j^*)$ ont des images disjointes par $E_1^*(\sigma)$.

- $P \subset \mathfrak{G}_{\vec{v}} \implies E_1^*(\sigma)(P) \subset \mathfrak{G}_{t_{M_\sigma} \vec{v}}$.
- Pour tout $\vec{v} \in \mathbb{R}_+^3$ on a $\text{hex} \subset \mathfrak{G}_{\vec{v}}$.

Question

Étant donné un vecteur \vec{v} , comment générer $(\sigma_i)_{i \geq 0}$ telle que chaque M_{σ_i} soit primitif, unimodulaire et

$$\lim_{n \rightarrow \infty} {}^t M_{\sigma_n} {}^t M_{\sigma_{n-1}} \cdots {}^t M_{\sigma_0} (0, 0, 1) = \vec{v}.$$

Computation of $[z_0; z_1, z_2, \dots]$ from $\alpha = b/a$.

Computation of $[z_0; z_1, z_2, \dots]$ from $\alpha = b/a$.

- Let $u_0 = b$ and $u_1 = a$,
- For $i \geq 0$, (while $u_{i+1} > 0$)
let $z_i = \left\lfloor \frac{u_i}{u_{i+1}} \right\rfloor$ and set $u_{i+2} = u_i - z_i u_{i+1}$.

Computation of $[z_0; z_1, z_2, \dots]$ from $\alpha = b/a$.

- Let $u_0 = b$ and $u_1 = a$,
- For $i \geq 0$, (while $u_{i+1} > 0$)
let $z_i = \left\lfloor \frac{u_i}{u_{i+1}} \right\rfloor$ and set $u_{i+2} = u_i - z_i u_{i+1}$.

First steps :

$$u_2 = u_0 - \left\lfloor \frac{u_0}{u_1} \right\rfloor u_1,$$

$$u_3 = u_1 - \left\lfloor \frac{u_1}{u_2} \right\rfloor u_2,$$

\vdots

Computation of $[z_0; z_1, z_2, \dots]$ from $\alpha = b/a = b_0/a_0$.

$$\begin{bmatrix} a_{n+1} \\ b_{n+1} \end{bmatrix} = \begin{bmatrix} -z_n & 1 \\ 1 & 0 \end{bmatrix} \begin{bmatrix} a_n \\ b_n \end{bmatrix} \text{ where } z_n = \left\lfloor \frac{b_n}{a_n} \right\rfloor$$

Computation of $[z_0; z_1, z_2, \dots]$ from $\alpha = b/a = b_0/a_0$.

$$\begin{bmatrix} a_{n+1} \\ b_{n+1} \end{bmatrix} = \underbrace{\begin{bmatrix} -z_n & 1 \\ 1 & 0 \end{bmatrix}}_{M_{z_n}^{-1}} \begin{bmatrix} a_n \\ b_n \end{bmatrix} \text{ where } z_n = \left\lfloor \frac{b_n}{a_n} \right\rfloor$$

If $a_n \neq 0$ let $M_{z_n} = \begin{bmatrix} 0 & 1 \\ 1 & z_n \end{bmatrix}$, otherwise $M_n = \begin{bmatrix} 1 & 0 \\ 0 & 1 \end{bmatrix}$.

Computation of $[z_0; z_1, z_2, \dots]$ from $\alpha = b/a = b_0/a_0$.

$$\begin{bmatrix} a_{n+1} \\ b_{n+1} \end{bmatrix} = \underbrace{\begin{bmatrix} -z_n & 1 \\ 1 & 0 \end{bmatrix}}_{M_{z_n}^{-1}} \begin{bmatrix} a_n \\ b_n \end{bmatrix} \text{ where } z_n = \left\lfloor \frac{b_n}{a_n} \right\rfloor$$

If $a_n \neq 0$ let $M_{z_n} = \begin{bmatrix} 0 & 1 \\ 1 & z_n \end{bmatrix}$, otherwise $M_n = \begin{bmatrix} 1 & 0 \\ 0 & 1 \end{bmatrix}$.

$$\begin{bmatrix} a \\ b \end{bmatrix} = M_{z_1} M_{z_2} \cdots M_{z_n} \begin{bmatrix} a_n \\ b_n \end{bmatrix}$$

Computation of $[z_0; z_1, z_2, \dots]$ from $\alpha = b/a = b_0/a_0$.

$$\begin{bmatrix} a_{n+1} \\ b_{n+1} \end{bmatrix} = \underbrace{\begin{bmatrix} -z_n & 1 \\ 1 & 0 \end{bmatrix}}_{M_{z_n}^{-1}} \begin{bmatrix} a_n \\ b_n \end{bmatrix} \text{ where } z_n = \left\lfloor \frac{b_n}{a_n} \right\rfloor$$

If $a_n \neq 0$ let $M_{z_n} = \begin{bmatrix} 0 & 1 \\ 1 & z_n \end{bmatrix}$, otherwise $M_n = \begin{bmatrix} 1 & 0 \\ 0 & 1 \end{bmatrix}$.

$$\begin{bmatrix} a \\ b \end{bmatrix} = M_{z_1} M_{z_2} \cdots M_{z_n} \begin{bmatrix} a_n \\ b_n \end{bmatrix}$$

$$\begin{bmatrix} q_n \\ p_n \end{bmatrix} = M_{z_1} M_{z_2} \cdots M_{z_n} \begin{bmatrix} 0 \\ 1 \end{bmatrix} \text{ where } \frac{p_n}{q_n} = [z_0; z_1, z_2, \dots, z_n]$$

Computation of $[z_0; z_1, z_2, \dots]$ from $\alpha = b/a = b_0/a_0$.

$$\begin{bmatrix} a_{n+1} \\ b_{n+1} \end{bmatrix} = \underbrace{\begin{bmatrix} -z_n & 1 \\ 1 & 0 \end{bmatrix}}_{M_{z_n}^{-1}} \begin{bmatrix} a_n \\ b_n \end{bmatrix} \quad \text{where } z_n = \left\lfloor \frac{b_n}{a_n} \right\rfloor$$

If $a_n \neq 0$ let $M_{z_n} = \begin{bmatrix} 0 & 1 \\ 1 & z_n \end{bmatrix}$, otherwise $M_n = \begin{bmatrix} 1 & 0 \\ 0 & 1 \end{bmatrix}$.

$$\begin{bmatrix} a \\ b \end{bmatrix} = M_{z_1} M_{z_2} \cdots M_{z_n} \begin{bmatrix} a_n \\ b_n \end{bmatrix}$$

$$\begin{bmatrix} q_n \\ p_n \end{bmatrix} = M_{z_1} M_{z_2} \cdots M_{z_n} \begin{bmatrix} 0 \\ 1 \end{bmatrix} \quad \text{where } \frac{p_n}{q_n} = [z_0; z_1, z_2, \dots, z_n]$$

$$\begin{bmatrix} a \\ b \end{bmatrix} = \lim_{n \rightarrow \infty} M_{z_1} M_{z_2} \cdots M_{z_n} \begin{bmatrix} 0 \\ 1 \end{bmatrix}$$

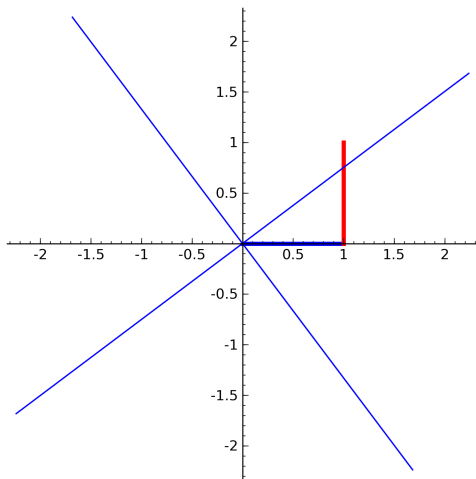
Example in dimension 2

$$(a, b) = (\pi, \sqrt{3}), \sqrt{3}/\pi = [0; 1, 1, 4, 2, 1, 2, 3, 7, 3, \dots],$$

$$E_1(\tau_0)(\vec{0}, e_2)$$

$$E_1^*(\tau_0)(\vec{0}, e_2^*)$$

$$\tau_n = \begin{cases} 1 \mapsto 2 \\ 2 \mapsto 12^n \end{cases}$$



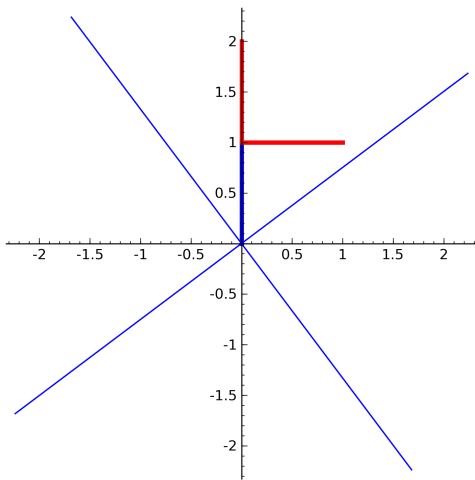
Example in dimension 2

$$(a, b) = (\pi, \sqrt{3}), \sqrt{3}/\pi = [0; 1, 1, 4, 2, 1, 2, 3, 7, 3, \dots],$$

$$E_1(\tau_0) \circ E_1(\tau_1)(\vec{0}, e_2)$$

$$E_1^*(\tau_0) \circ E_1^*(\tau_1)(\vec{0}, e_2^*)$$

$$\tau_n = \begin{cases} 1 \mapsto 2 \\ 2 \mapsto 12^n \end{cases}$$



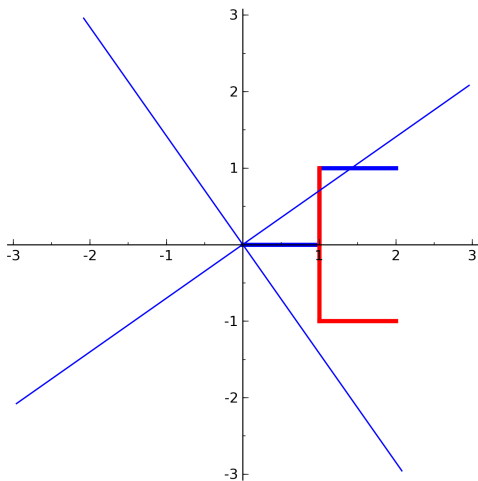
Example in dimension 2

$$(a, b) = (\pi, \sqrt{3}), \sqrt{3}/\pi = [0; 1, 1, 4, 2, 1, 2, 3, 7, 3, \dots],$$

$$E_1(\tau_0) \circ E_1(\tau_1) \circ E_1(\tau_1)(\vec{0}, e_2)$$

$$E_1^*(\tau_0) \circ E_1^*(\tau_1) \circ E_1^*(\tau_1)(\vec{0}, e_2^*)$$

$$\tau_n = \begin{cases} 1 \mapsto 2 \\ 2 \mapsto 12^n \end{cases}$$



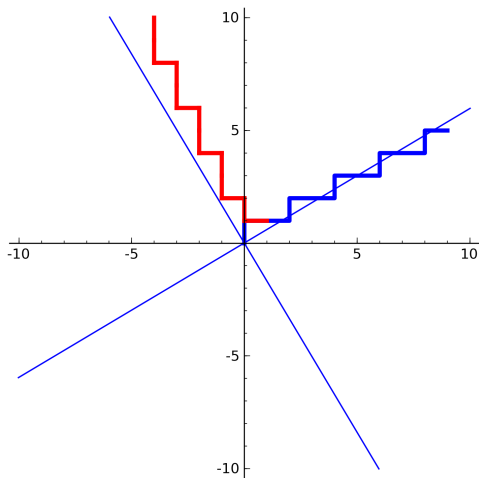
Example in dimension 2

$$(a, b) = (\pi, \sqrt{3}), \sqrt{3}/\pi = [0; 1, 1, 4, 2, 1, 2, 3, 7, 3, \dots],$$

$$E_1(\tau_0) \circ E_1(\tau_1) \circ E_1(\tau_1) \circ E_1(\tau_4)(\vec{0}, e_2)$$

$$E_1^*(\tau_0) \circ E_1^*(\tau_1) \circ E_1^*(\tau_1) \circ E_1^*(\tau_4)(\vec{0}, e_2^*)$$

$$\tau_n = \begin{cases} 1 \mapsto 2 \\ 2 \mapsto 12^n \end{cases}$$

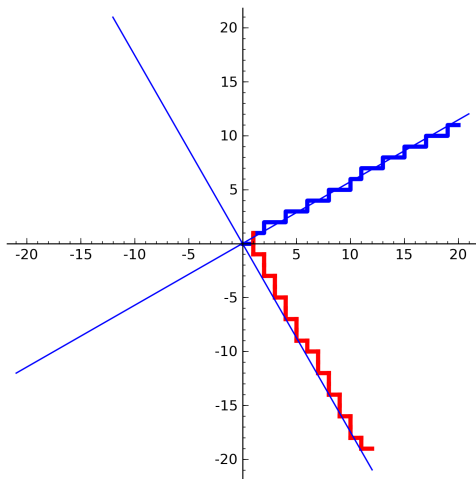


Example in dimension 2

$$(a, b) = (\pi, \sqrt{3}), \sqrt{3}/\pi = [0; 1, 1, 4, 2, 1, 2, 3, 7, 3, \dots],$$

$$E_1(\tau_0) \circ E_1(\tau_1) \circ E_1(\tau_1) \circ E_1(\tau_4) \circ E_1(\tau_2)(\vec{0}, e_2)$$
$$E_1^*(\tau_0) \circ E_1^*(\tau_1) \circ E_1^*(\tau_1) \circ E_1^*(\tau_4) \circ E_1^*(\tau_2)(\vec{0}, e_2^*)$$

$$\tau_n = \begin{cases} 1 \mapsto 2 \\ 2 \mapsto 12^n \end{cases}$$

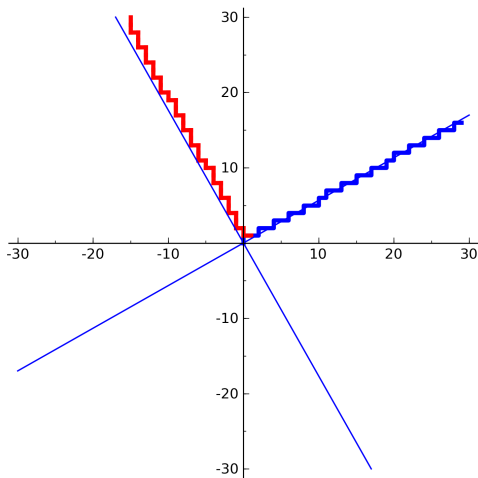


Example in dimension 2

$$(a, b) = (\pi, \sqrt{3}), \sqrt{3}/\pi = [0; 1, 1, 4, 2, 1, 2, 3, 7, 3, \dots],$$

$$E_1(\tau_0) \circ E_1(\tau_1) \circ E_1(\tau_1) \circ E_1(\tau_4) \circ E_1(\tau_2) \circ E_1(\tau_1)(\vec{0}, e_2)$$
$$E_1^*(\tau_0) \circ E_1^*(\tau_1) \circ E_1^*(\tau_1) \circ E_1^*(\tau_4) \circ E_1^*(\tau_2) \circ E_1^*(\tau_1)(\vec{0}, e_2^*)$$

$$\tau_n = \begin{cases} 1 \mapsto 2 \\ 2 \mapsto 12^n \end{cases}$$

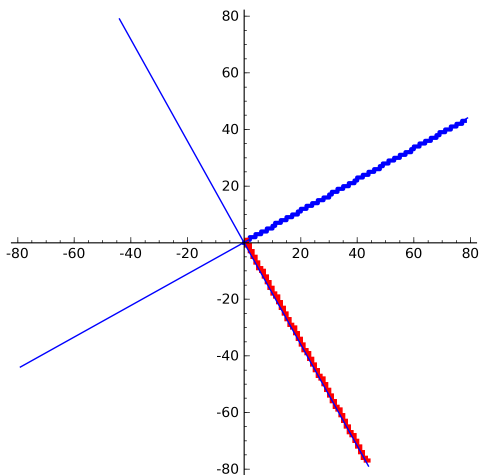


Example in dimension 2

$$(a, b) = (\pi, \sqrt{3}), \sqrt{3}/\pi = [0; 1, 1, 4, 2, 1, 2, 3, 7, 3, \dots],$$

$$E_1(\tau_0) \circ E_1(\tau_1) \circ E_1(\tau_1) \circ E_1(\tau_4) \circ E_1(\tau_2) \circ E_1(\tau_1) \circ E_1(\tau_2)(\vec{0}, e_2) \\ E_1^*(\tau_0) \circ E_1^*(\tau_1) \circ E_1^*(\tau_1) \circ E_1^*(\tau_4) \circ E_1^*(\tau_2) \circ E_1^*(\tau_1) \circ E_1^*(\tau_2)(\vec{0}, e_2^*)$$

$$\tau_n = \begin{cases} 1 \mapsto 2 \\ 2 \mapsto 12^n \end{cases}$$

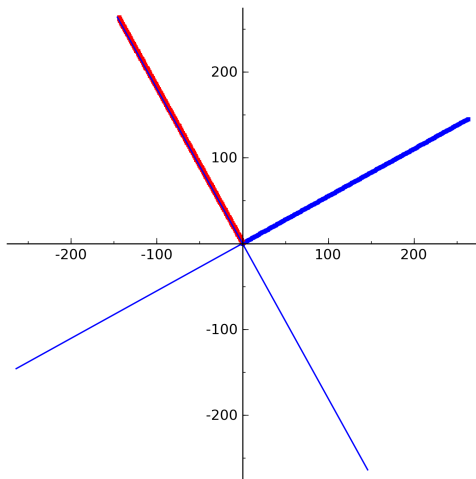


Example in dimension 2

$$(a, b) = (\pi, \sqrt{3}), \sqrt{3}/\pi = [0; 1, 1, 4, 2, 1, 2, 3, 7, 3, \dots],$$

$$E_1(\tau_0) \circ E_1(\tau_1) \circ E_1(\tau_1) \circ E_1(\tau_4) \circ E_1(\tau_2) \circ E_1(\tau_1) \circ E_1(\tau_2) \circ E_1(\tau_3)(\vec{0}, e_2)$$
$$E_1^*(\tau_0) \circ E_1^*(\tau_1) \circ E_1^*(\tau_1) \circ E_1^*(\tau_4) \circ E_1^*(\tau_2) \circ E_1^*(\tau_1) \circ E_1^*(\tau_2) \circ E_1^*(\tau_3)(\vec{0}, e_2^*)$$

$$\tau_n = \begin{cases} 1 \mapsto 2 \\ 2 \mapsto 12^n \end{cases}$$

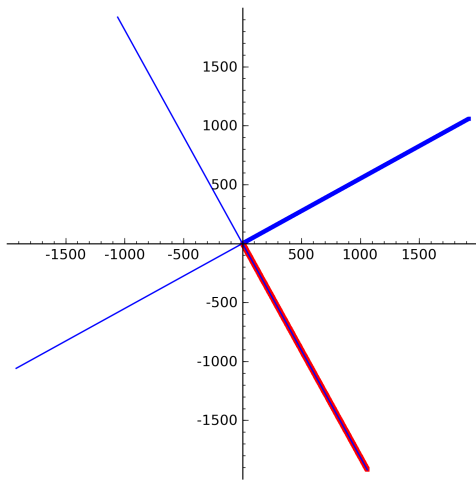


Example in dimension 2

$$(a, b) = (\pi, \sqrt{3}), \sqrt{3}/\pi = [0; 1, 1, 4, 2, 1, 2, 3, 7, 3, \dots],$$

$$E_1(\tau_0) \circ E_1(\tau_1) \circ E_1(\tau_1) \circ E_1(\tau_4) \circ E_1(\tau_2) \circ E_1(\tau_1) \circ E_1(\tau_2) \circ E_1(\tau_3) \circ E_1(\tau_7)(\vec{0}, e_2)$$
$$E_1^*(\tau_0) \circ E_1^*(\tau_1) \circ E_1^*(\tau_1) \circ E_1^*(\tau_4) \circ E_1^*(\tau_2) \circ E_1^*(\tau_1) \circ E_1^*(\tau_2) \circ E_1^*(\tau_3) \circ E_1^*(\tau_7)(\vec{0}, e_2^*)$$

$$\tau_n = \begin{cases} 1 \mapsto 2 \\ 2 \mapsto 12^n \end{cases}$$



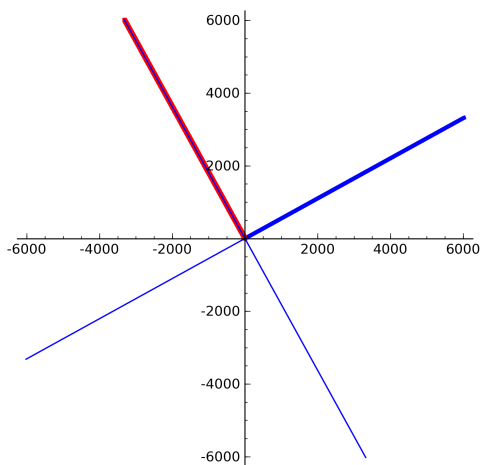
Example in dimension 2

$$(a, b) = (\pi, \sqrt{3}), \quad \sqrt{3}/\pi = [0; 1, 1, 4, 2, 1, 2, 3, 7, 3, \dots],$$

$$E_1(\tau_0) \circ E_1(\tau_1) \circ E_1(\tau_1) \circ E_1(\tau_4) \circ E_1(\tau_2) \circ E_1(\tau_1) \circ E_1(\tau_2) \circ E_1(\tau_3) \circ E_1(\tau_7) \circ E_1(\tau_3)(\vec{0}, e_2)$$

$$E_1^*(\tau_0) \circ E_1^*(\tau_1) \circ E_1^*(\tau_1) \circ E_1^*(\tau_4) \circ E_1^*(\tau_2) \circ E_1^*(\tau_1) \circ E_1^*(\tau_2) \circ E_1^*(\tau_3) \circ E_1^*(\tau_7) \circ E_1^*(\tau_3)(\vec{0}, e_1)$$

$$\tau_n = \begin{cases} 1 \mapsto 2 \\ 2 \mapsto 12^n \end{cases}$$



Theorem (Berthé, de Luca, Reutenauer, 2007)

The geometrical representation of

$$E_1^*(\tau_{z_0}) \circ E_1^*(\tau_{z_1}) \circ \cdots \circ E_1^*(\tau_{z_n})(\vec{0}, e_2^*)$$

codes the Christoffel word of slope p_n/q_n where $q_n/p_n = [z_0; z_1, \dots, z_n]$.

Quelques algorithmes de fractions continues unimodulaires. Soit $(a, b, c) \in \mathbb{R}_+^3$ avec $a \leq b \leq c$,

- Jacobi-Perron :

$$(a, b, c) \mapsto \left(b - \left\lfloor \frac{b}{a} \right\rfloor, c - \left\lfloor \frac{c}{a} \right\rfloor, a \right)$$

- Brun :

$$(a, b, c) \mapsto (a, b, c - b)$$

- Poincaré :

$$(a, b, c) \mapsto (a, b - a, c - b)$$

- Selmer :

$$(a, b, c) \mapsto (a, b, c - a)$$

- Fully subtractive :

$$(a, b, c) \mapsto (a, b - a, c - a)$$

- Fully subtractive :

$$(a, b, c) \mapsto (a, b - a, c - a)$$

$$M_1 = \begin{bmatrix} 1 & 0 & 0 \\ -1 & 1 & 0 \\ -1 & 0 & 1 \end{bmatrix} \quad M_2 = \begin{bmatrix} -1 & 1 & 0 \\ 1 & 0 & 0 \\ -1 & 0 & 1 \end{bmatrix} \quad M_3 = \begin{bmatrix} -1 & 1 & 0 \\ -1 & 0 & 1 \\ 1 & 0 & 0 \end{bmatrix}$$

- Fully subtractive :

$$(a, b, c) \mapsto (a, b - a, c - a)$$

$$M_1 = \begin{bmatrix} 1 & 0 & 0 \\ -1 & 1 & 0 \\ -1 & 0 & 1 \end{bmatrix} \quad M_2 = \begin{bmatrix} -1 & 1 & 0 \\ 1 & 0 & 0 \\ -1 & 0 & 1 \end{bmatrix} \quad M_3 = \begin{bmatrix} -1 & 1 & 0 \\ -1 & 0 & 1 \\ 1 & 0 & 0 \end{bmatrix}$$

$${}^t M_1^{-1} = \begin{bmatrix} 1 & 1 & 1 \\ 0 & 1 & 0 \\ 0 & 0 & 1 \end{bmatrix} \quad {}^t M_2^{-1} = \begin{bmatrix} 0 & 1 & 0 \\ 1 & 1 & 1 \\ 0 & 0 & 1 \end{bmatrix} \quad {}^t M_3^{-1} = \begin{bmatrix} 0 & 1 & 0 \\ 0 & 0 & 1 \\ 1 & 1 & 1 \end{bmatrix}$$

$$s_1 := \begin{cases} 1 \mapsto 1 \\ 2 \mapsto 21 \\ 3 \mapsto 31 \end{cases} \quad s_2 := \begin{cases} 1 \mapsto 2 \\ 2 \mapsto 12 \\ 3 \mapsto 32 \end{cases} \quad s_3 := \begin{cases} 1 \mapsto 3 \\ 2 \mapsto 13 \\ 3 \mapsto 23 \end{cases}$$

Étant donné un vecteur $v \in \mathbb{R}_+^3$ avec $v_1 \leq v_2 \leq v_3$, on pose $v^{(0)} = v$ et

$$v^{(n+1)} = M^{(n)}v^{(n)},$$

Théorème

Les points générés par le E_1^* de fully subtractive est forment un sous-ensemble de la construction *translation + union*.

$$\mathcal{P}_n = \{x \in \mathbb{Z}^3 \mid [x, i]^* \in E_1^*(s^{(0)})E_1^*(s^{(1)}) \cdots E_1^*(s^{(n)}) (\text{cube}) \}$$

Étant donné un vecteur $v \in \mathbb{R}_+^3$ avec $v_1 \leq v_2 \leq v_3$, on pose $v^{(0)} = v$ et

$$v^{(n+1)} = M^{(n)}v^{(n)},$$

Théorème

Les points générés par le E_1^* de fully subtractive est forment un sous-ensemble de la construction *translation + union*.

$$\mathcal{P}_n = \{x \in \mathbb{Z}^3 \mid [x, i]^* \in E_1^*(s^{(0)})E_1^*(s^{(1)}) \dots E_1^*(s^{(n)}) (\text{cube}) \}$$

Sketch de la preuve,

Pour tout $i \in \{1, 2, 3\}$ on a

$$E_1^*(s_i) (\text{cube}) = \text{union of 2 cubes}$$

Ainsi,

$$\begin{aligned} E_1^*(s^{(0)})E_1^*(s^{(1)}) \dots E_1^*(s^{(n)}) (\text{cube}) &= E_1^*(s^{(0)})E_1^*(s^{(1)}) \dots E_1^*(s^{(n-1)}) (\text{union of 2 cubes}) \\ &= E_1^*(s^{(0)})E_1^*(s^{(1)}) \dots E_1^*(s^{(n-1)}) (\text{cube}) + E_1^*(s^{(0)})E_1^*(s^{(1)}) \dots E_1^*(s^{(n-1)}) (\text{cube with dot}) \end{aligned}$$

Notation : $\Sigma_i = E_1^*(s_i)$.

Théorème (Jolivet, 2012)

Soit $(i_n)_{n \geq 0}$ avec chaque $i_n \in \{1, 2, 3\}$ tel que pour tout $n \geq 0$, il existe $N > n$ avec $i_N = 3$,

$$\Sigma_{i_0} \Sigma_{i_1} \cdots \Sigma_{i_n} (\text{cube})$$

contient une boule centrée en 0 arbitrairement grande lorsque n tends vers l'infini.

Notation : $\Sigma_i = E_1^*(s_i)$.

Théorème (Jolivet, 2012)

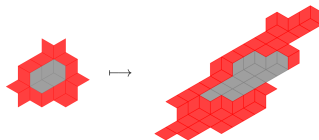
Soit $(i_n)_{n \geq 0}$ avec chaque $i_n \in \{1, 2, 3\}$ tel que pour tout $n \geq 0$, il existe $N > n$ avec $i_N = 3$,

$$\Sigma_{i_0} \Sigma_{i_1} \cdots \Sigma_{i_n} \left(\begin{array}{c} \text{cube} \\ \text{cube} \end{array} \right)$$

contient une boule centrée en 0 arbitrairement grande lorsque n tends vers l'infini.

Sketch de la preuve

P	$\Sigma_1(P)$	$\Sigma_2(P)$	$\Sigma_3(P)$



Construction par composantes connexes

Définition

- Soit $P'(v, \mu, \omega) = \{x \in \mathbb{Z}^3 \mid 0 \leq \langle x, v \rangle + \mu \leq \omega\}$.

Définition

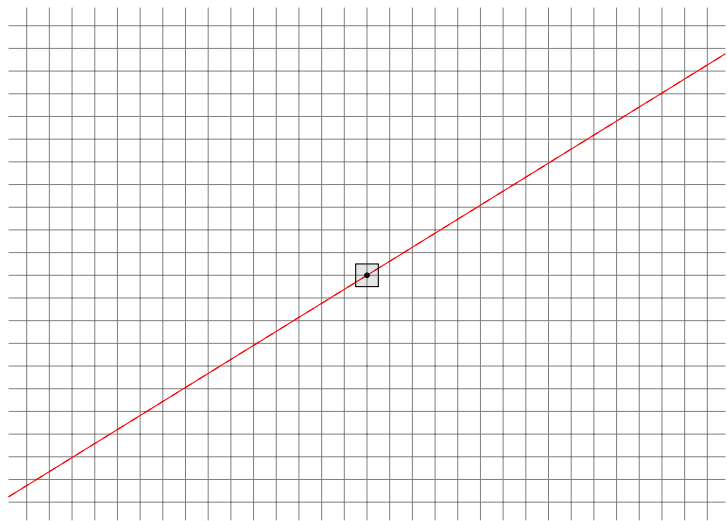
- Soit $P'(v, \mu, \omega) = \{x \in \mathbb{Z}^3 \mid 0 \leq \langle x, v \rangle + \mu \leq \omega\}$.
- On appelle $\mathcal{T}(v, h)$ la composante 2-connexe de $\vec{0}$ dans $P'(v, 0, h)$.
- $\mathcal{B}(v, h) = \{x \in P'(v, 0, \Omega_2(v, 0)) \setminus \mathcal{T}(v, h) \mid x \text{ est 2-voisin d'un point de } \mathcal{T}(v, h)\}$.

Définition

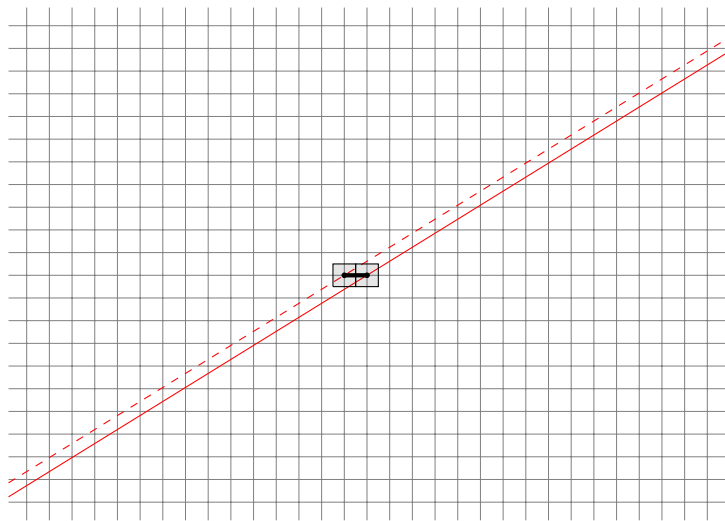
- Soit $P'(v, \mu, \omega) = \{x \in \mathbb{Z}^3 \mid 0 \leq \langle x, v \rangle + \mu \leq \omega\}$.
- On appelle $\mathcal{T}(v, h)$ la composante 2-connexe de $\vec{0}$ dans $P'(v, 0, h)$.
- $\mathcal{B}(v, h) = \{x \in P'(v, 0, \Omega_2(v, 0)) \setminus \mathcal{T}(v, h) \mid x \text{ est 2-voisin d'un point de } \mathcal{T}(v, h)\}$.
- $h_0 = 0$,
- $h_{i+1} = \min\{\langle X, v \rangle \mid X \in \mathcal{B}(v, h_i)\}$

On s'intéresse à la suite de *morceaux de plans* $(\mathcal{T}(v, h_i))_{i \geq 0}$.

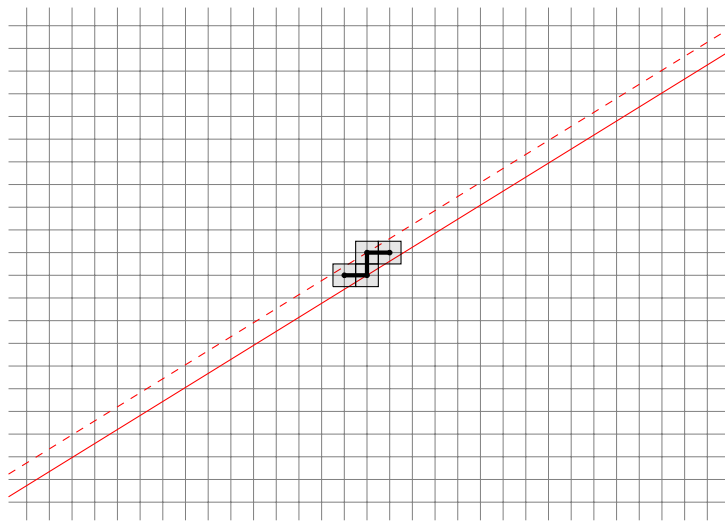
Exemple 2D

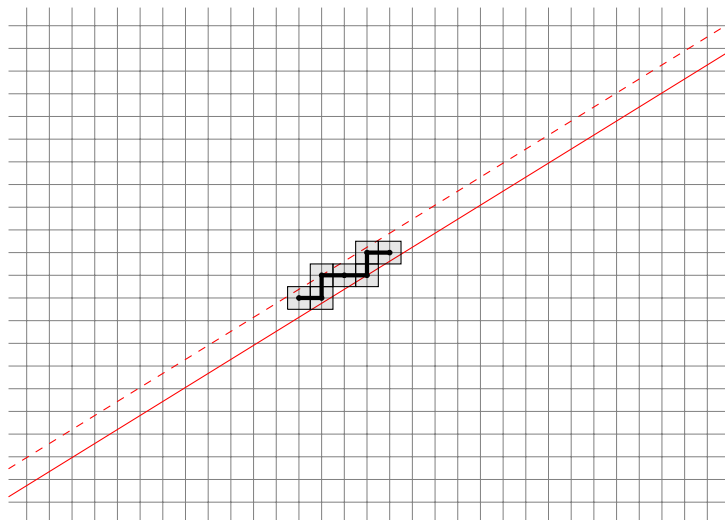


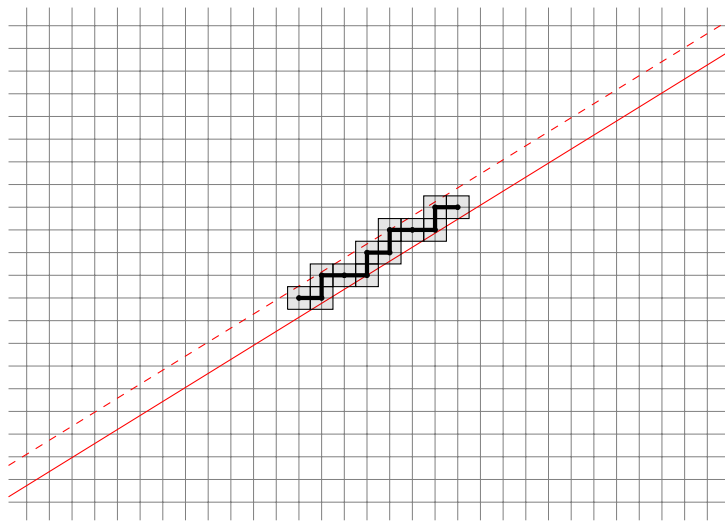
Exemple 2D

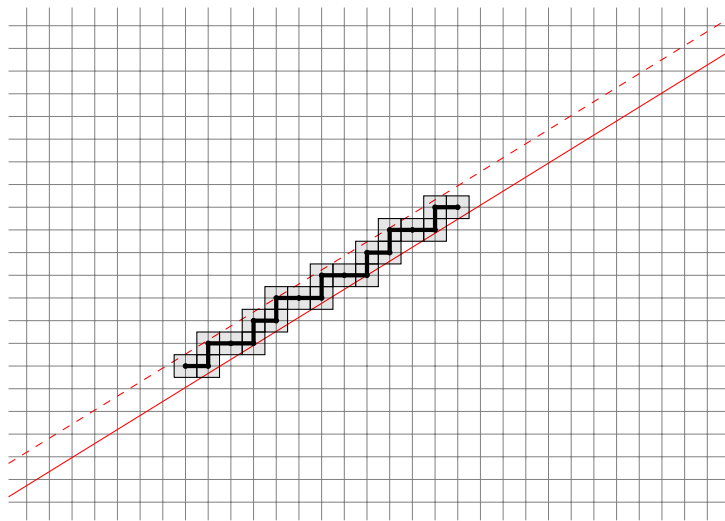


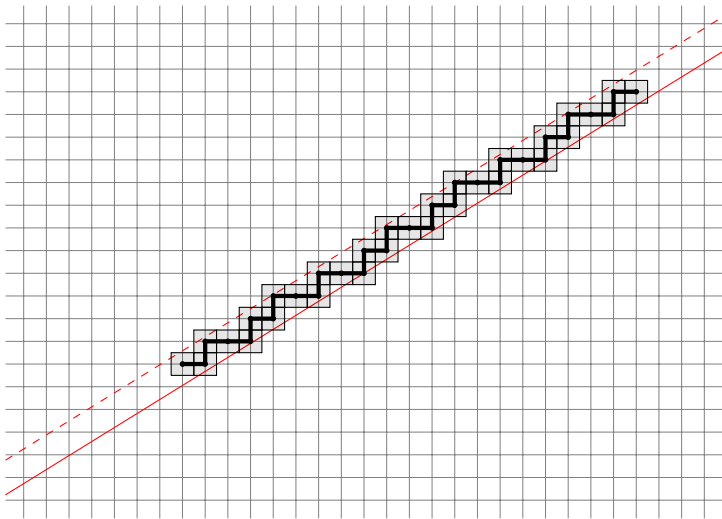
Exemple 2D

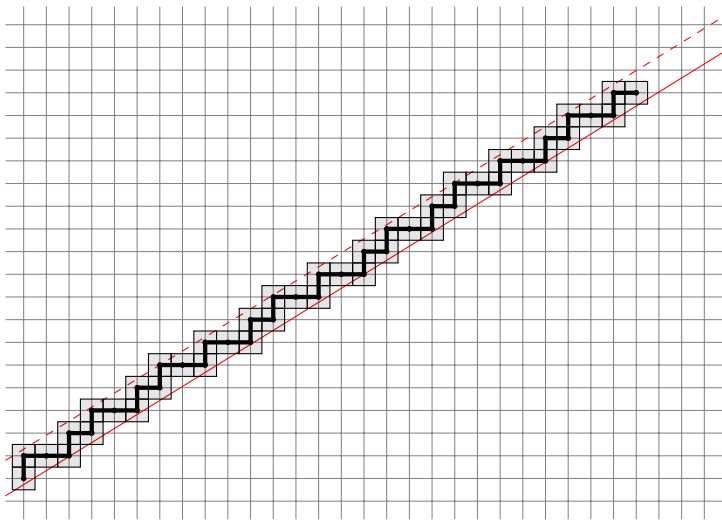




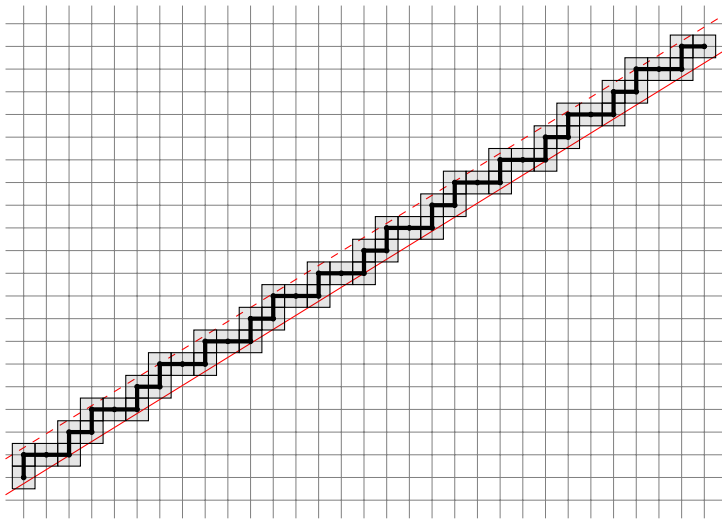




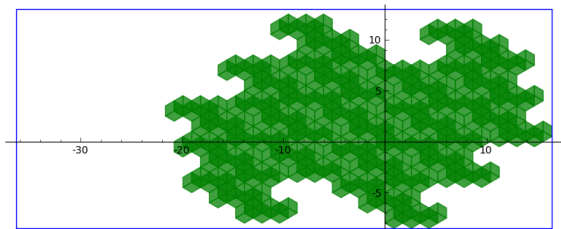




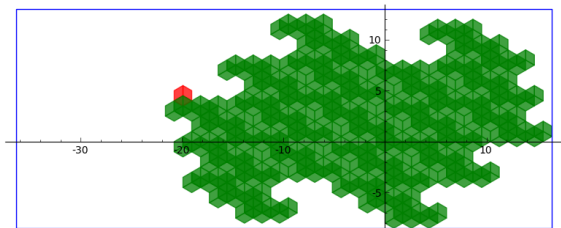
Exemple 2D

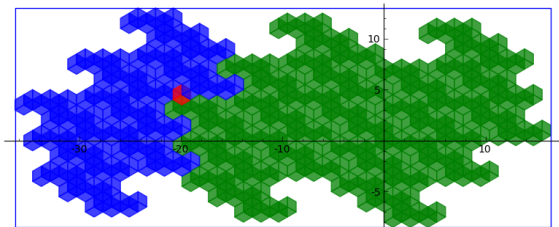


Exemple 3D



Exemple 3D





Théorème (Berthé, 2012 (?))

$$\mathcal{T}(v, h_n) = \{x \in \mathbb{Z}^3 \mid [x, i]^* \in E_1^*(s^{(0)})E_1^*(s^{(1)}) \cdots E_1^*(s^{(n)}) (\text{cube}) \}$$

MERCI !